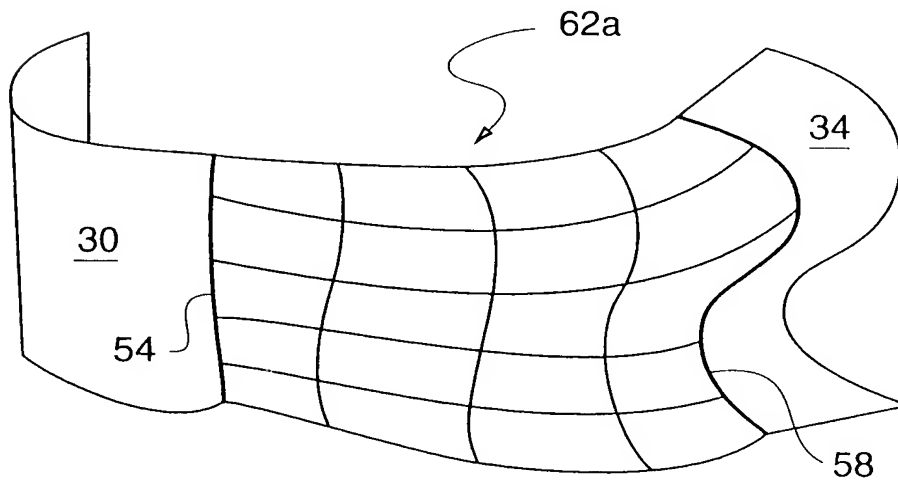
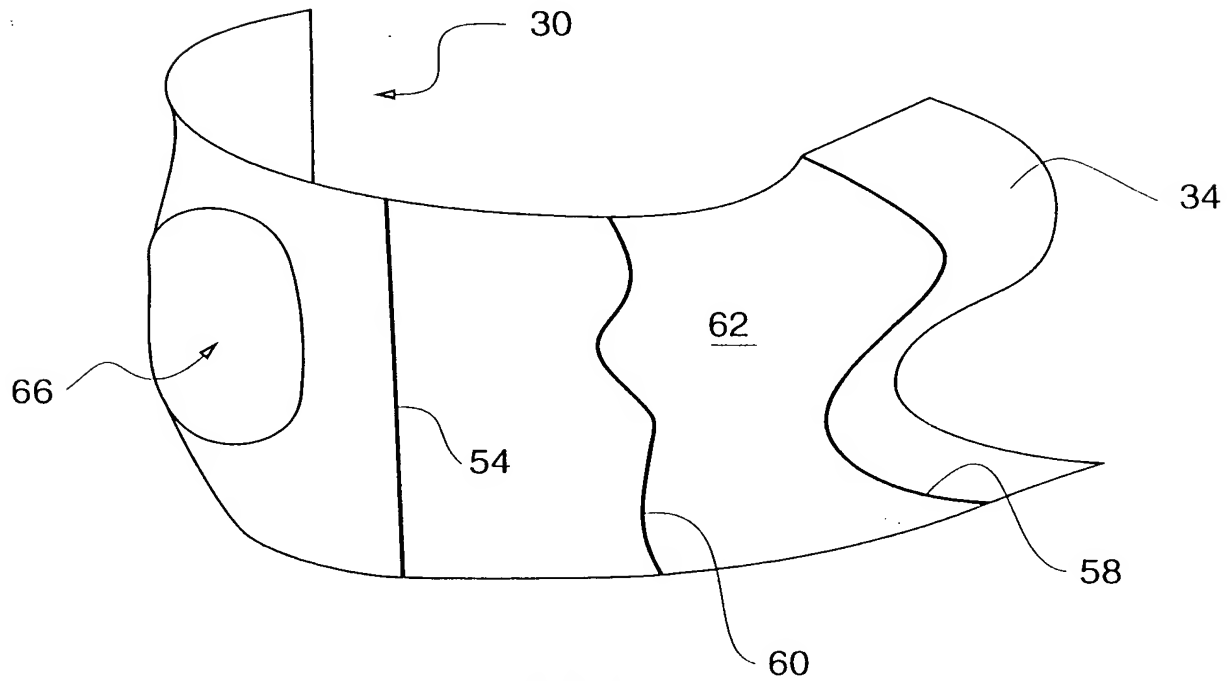


Fig. 1



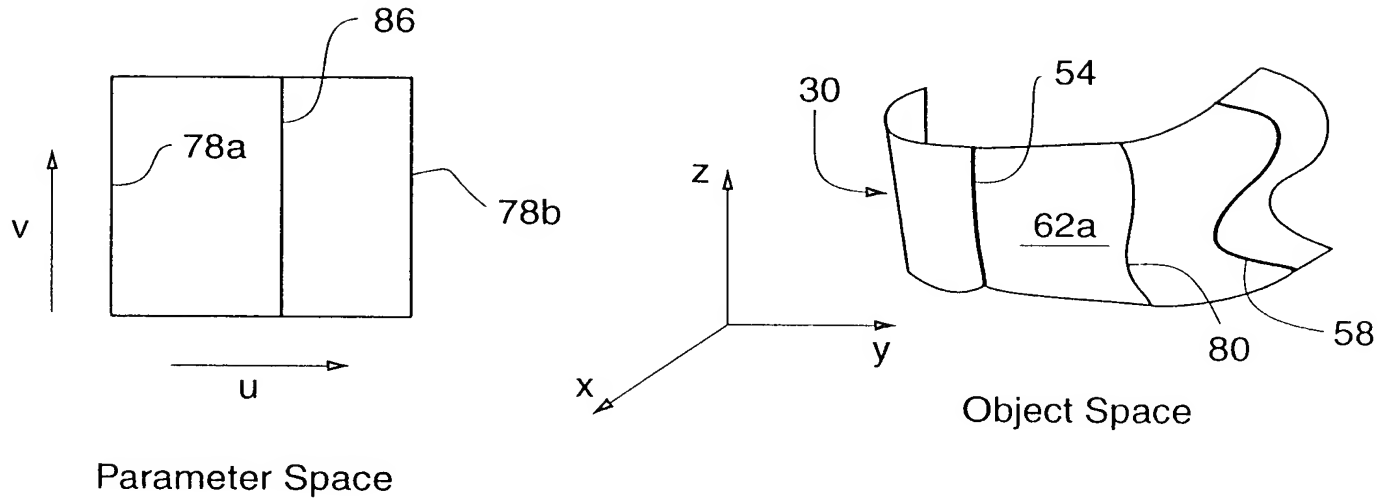


Fig. 4

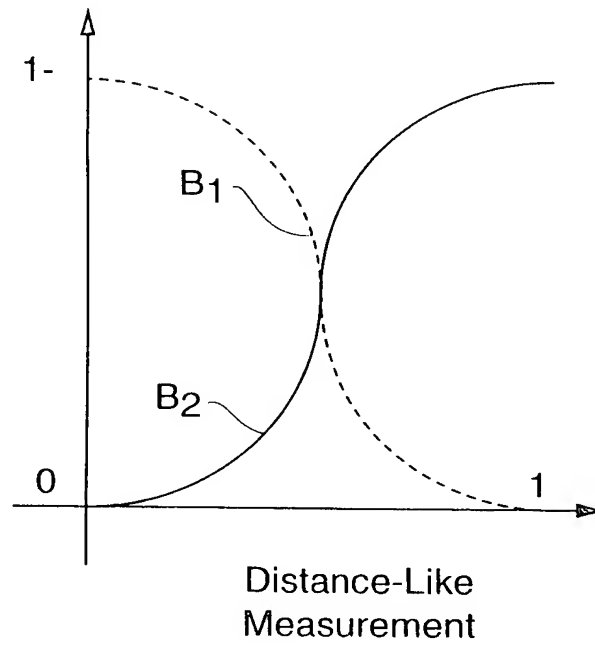


Fig. 5

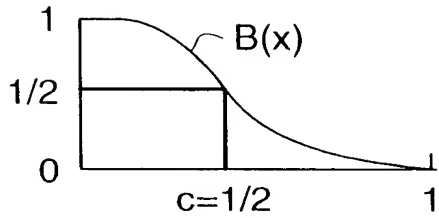


Fig. 6A

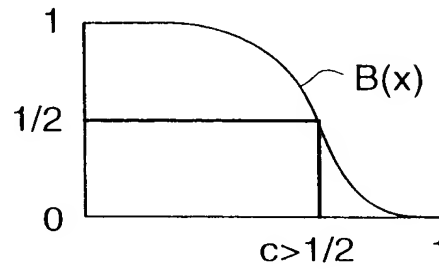


Fig. 6B

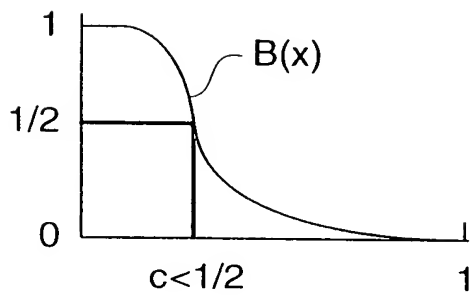


Fig. 6C

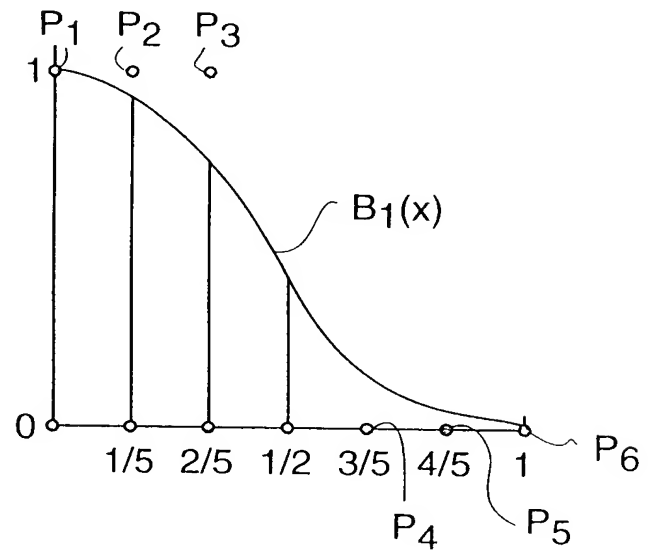


Fig. 6D

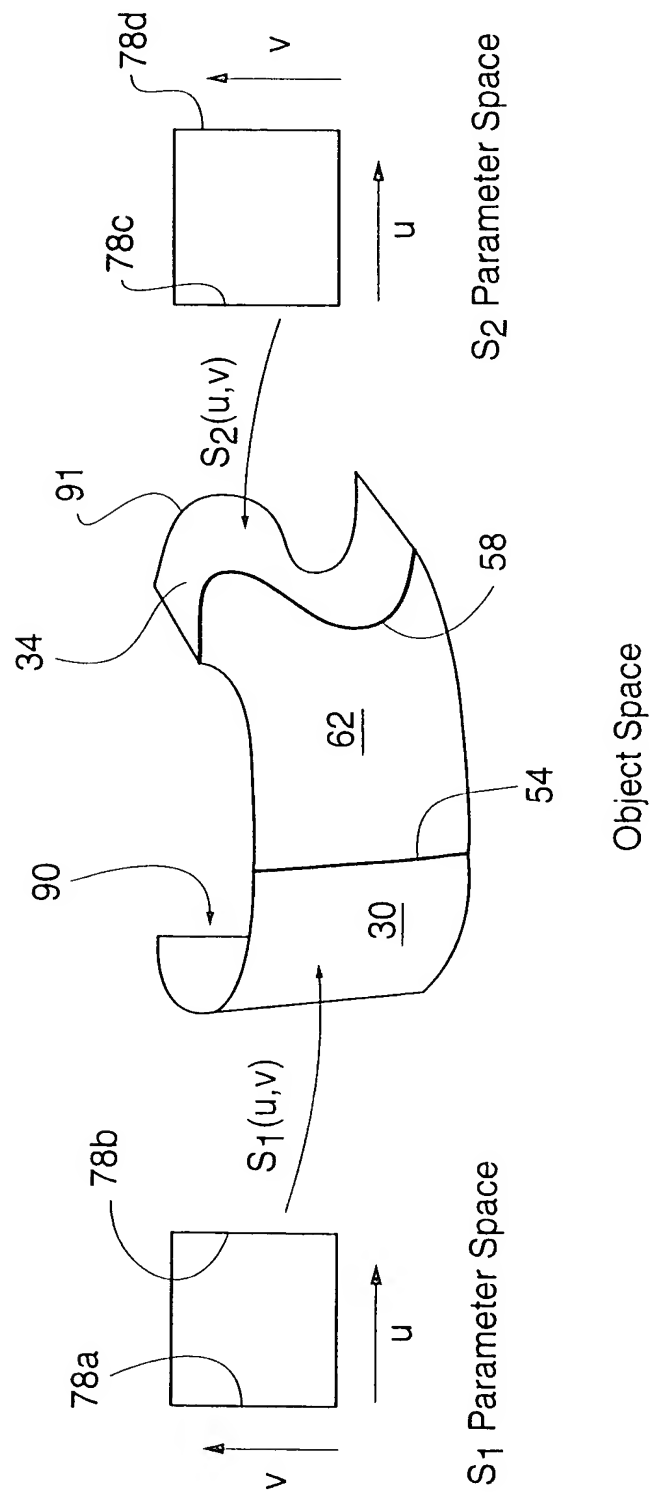


Fig. 7

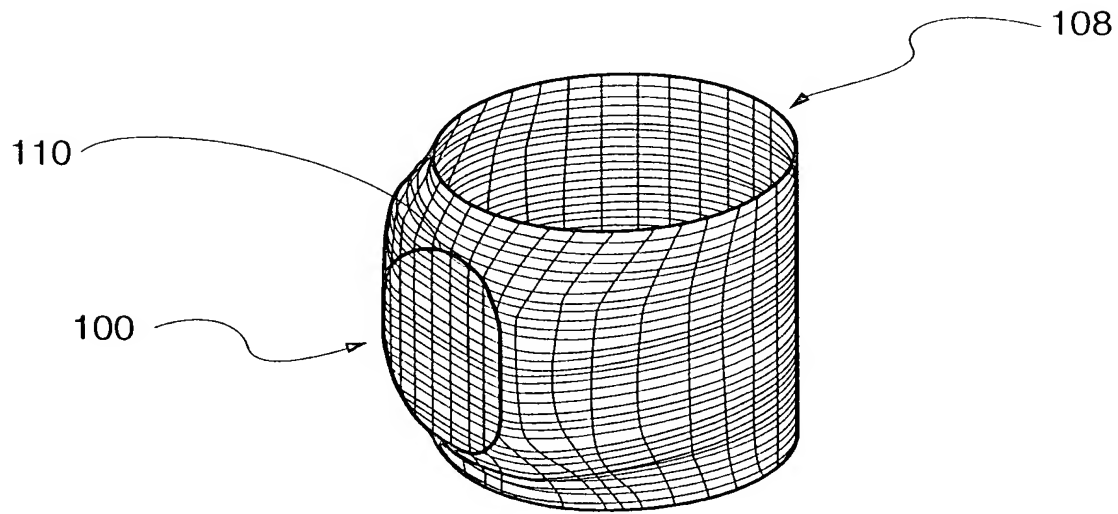


Fig. 8

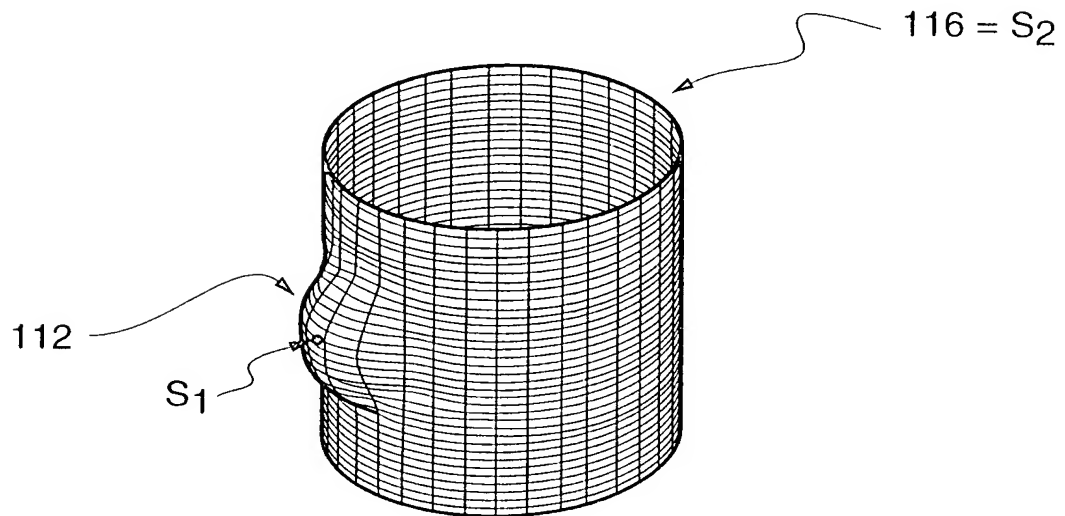


Fig. 9

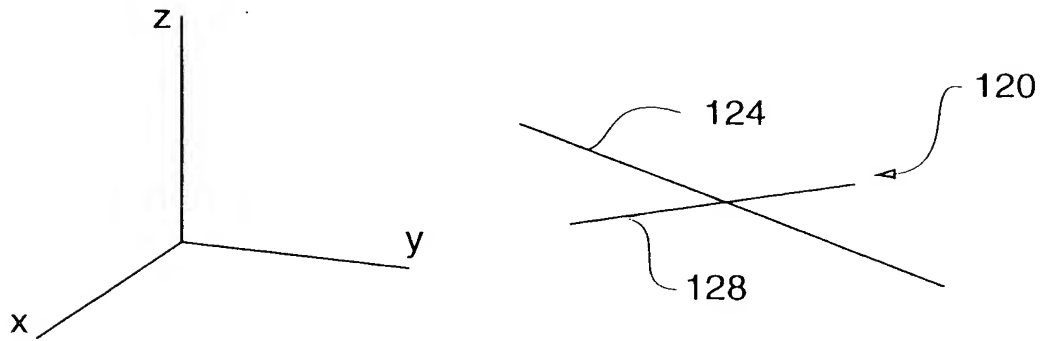


Fig. 10

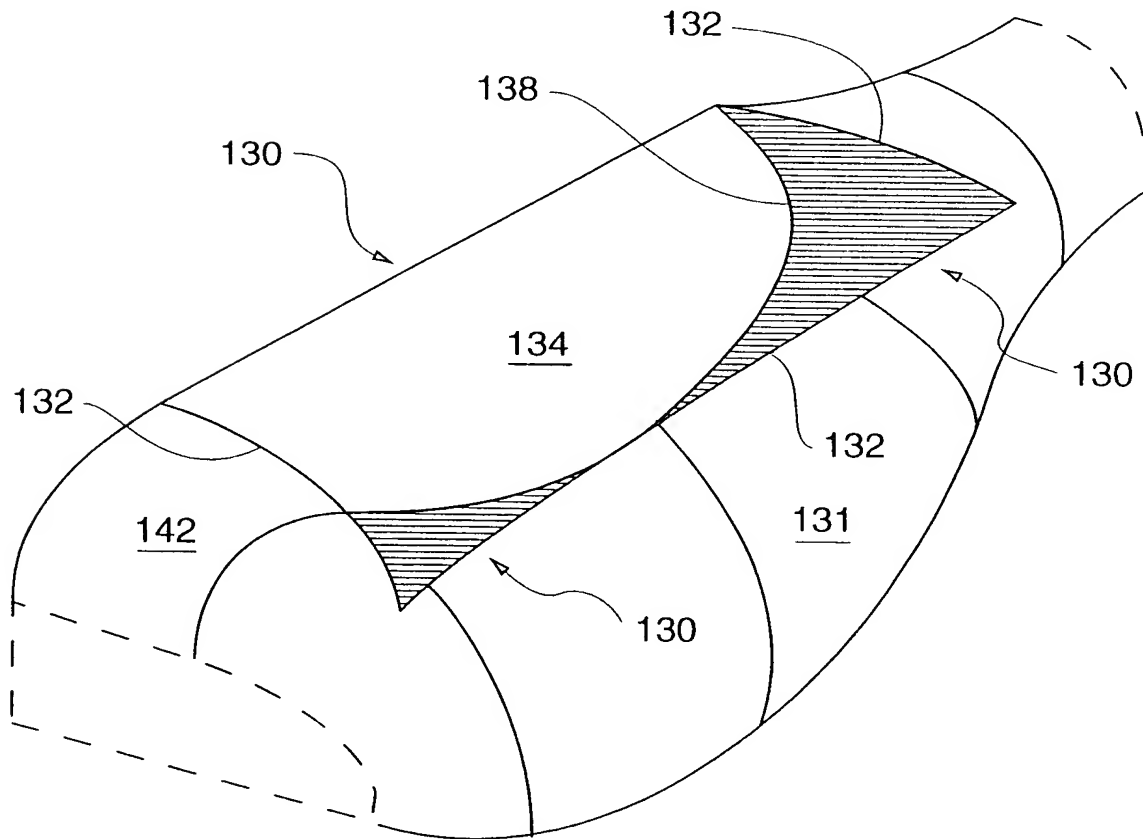
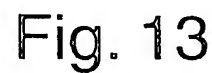
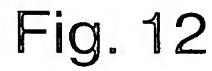


Fig. 11



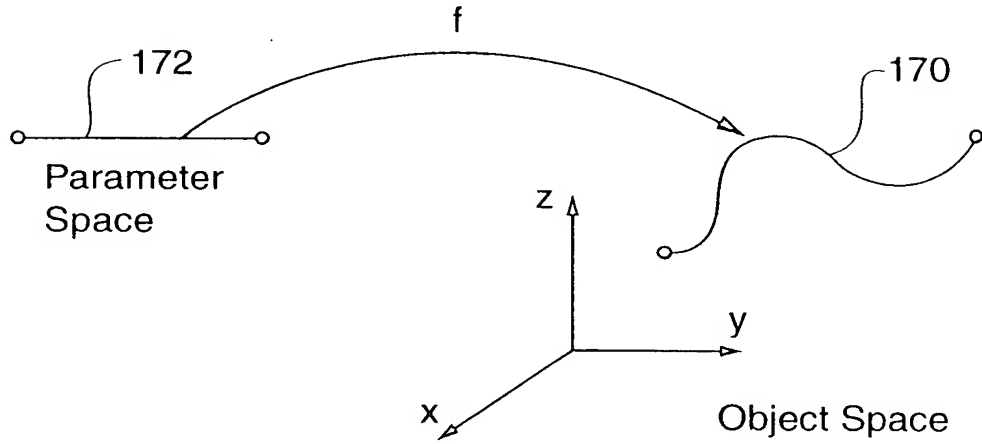


Fig. 15

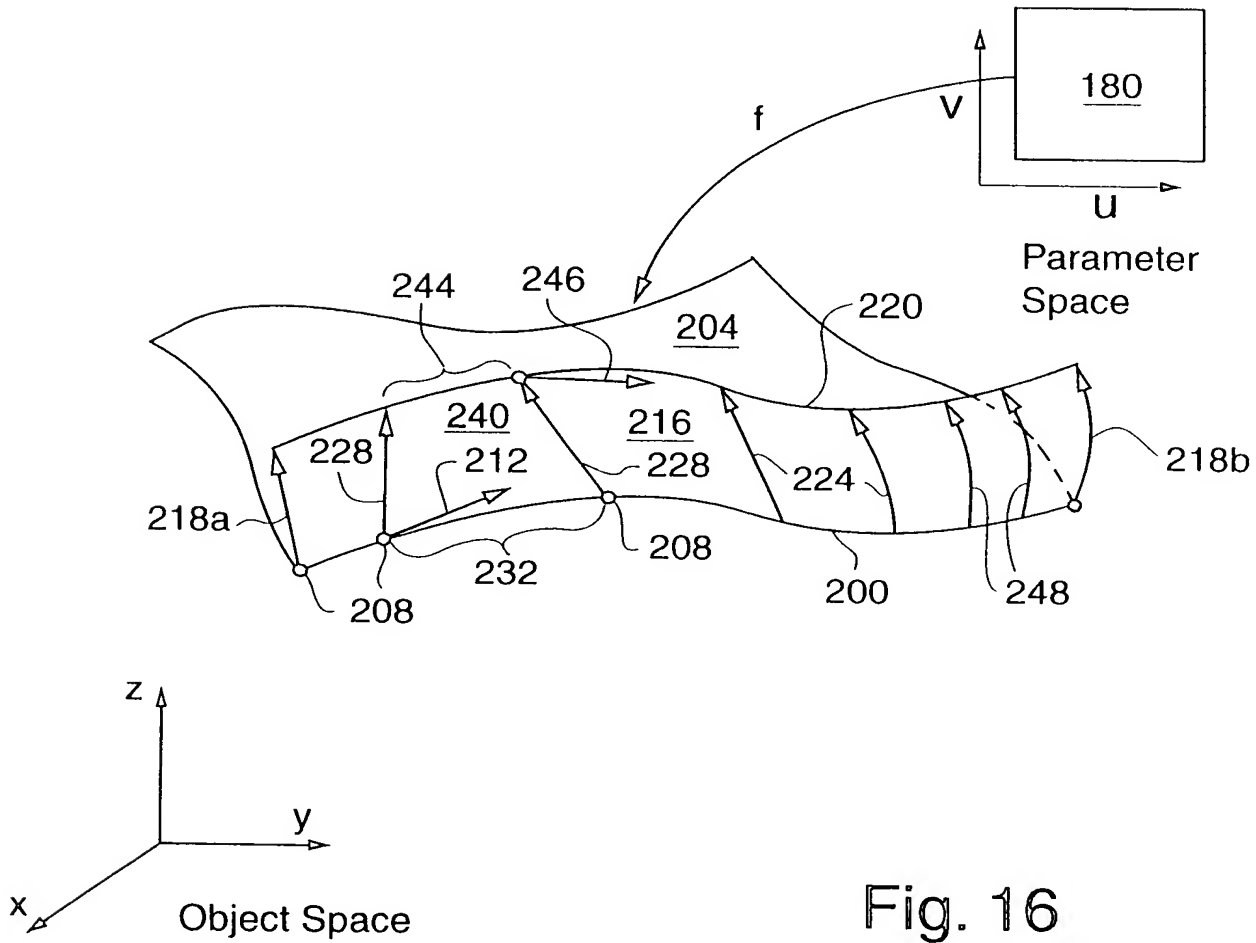


Fig. 16

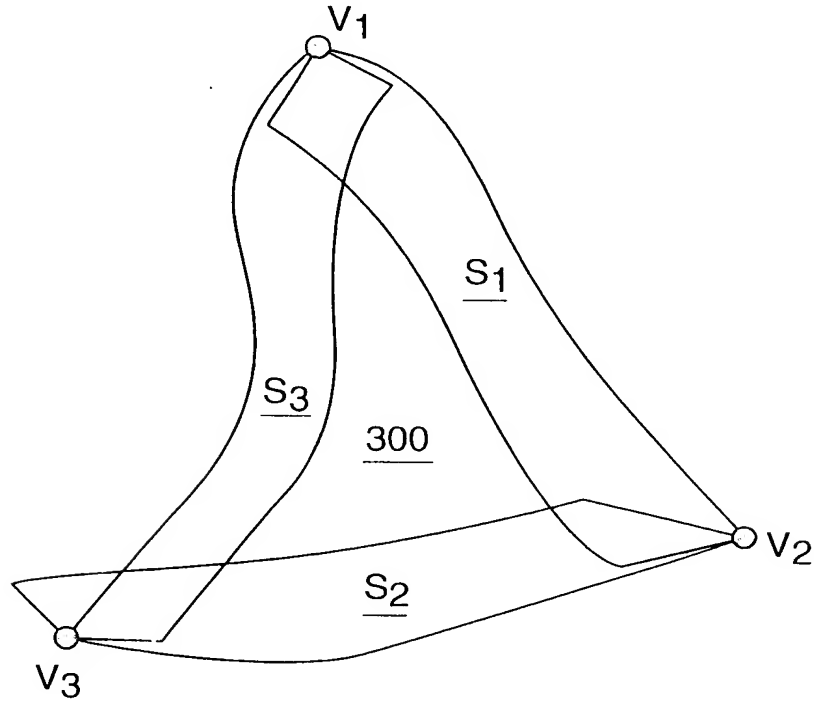


Fig. 14

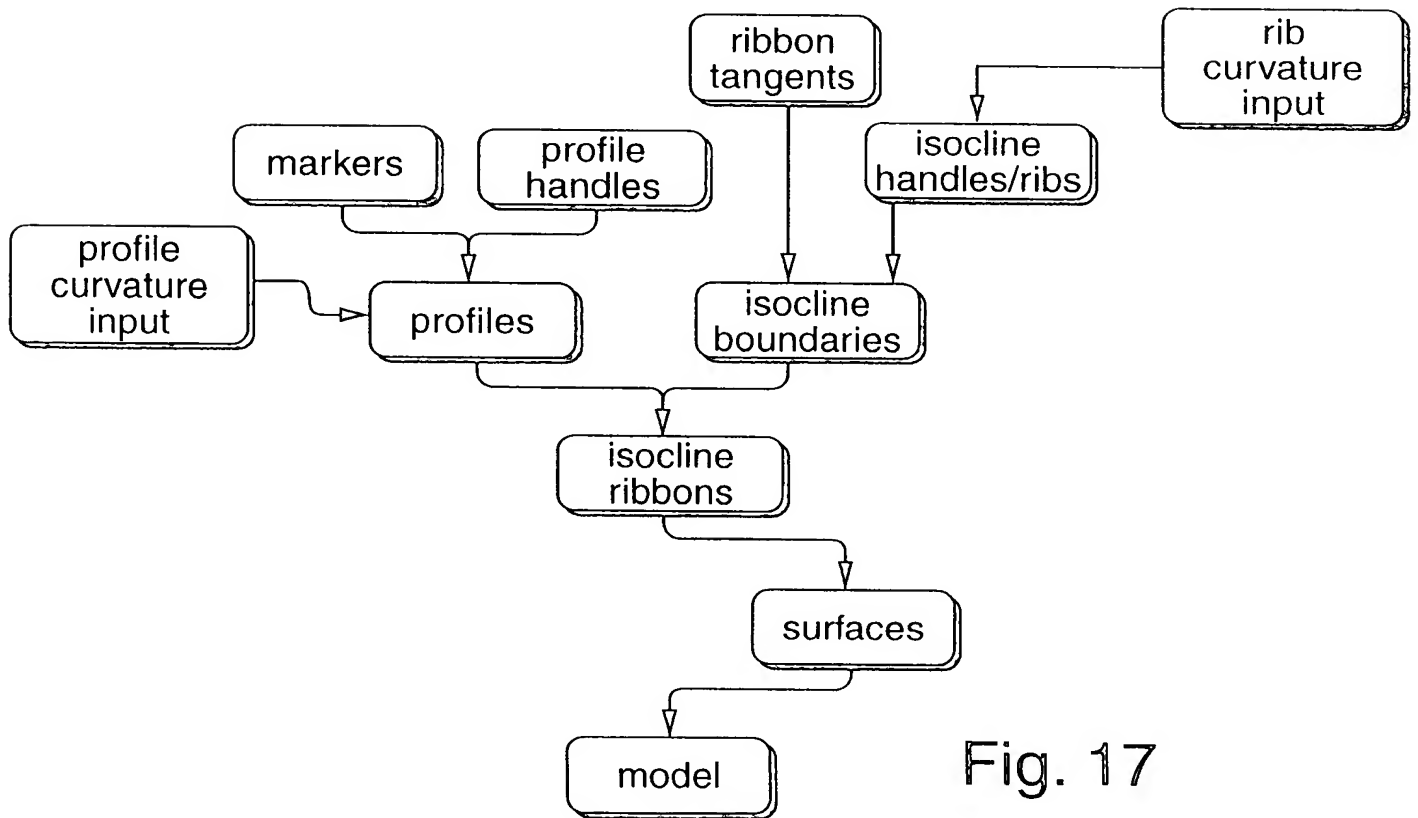


Fig. 17

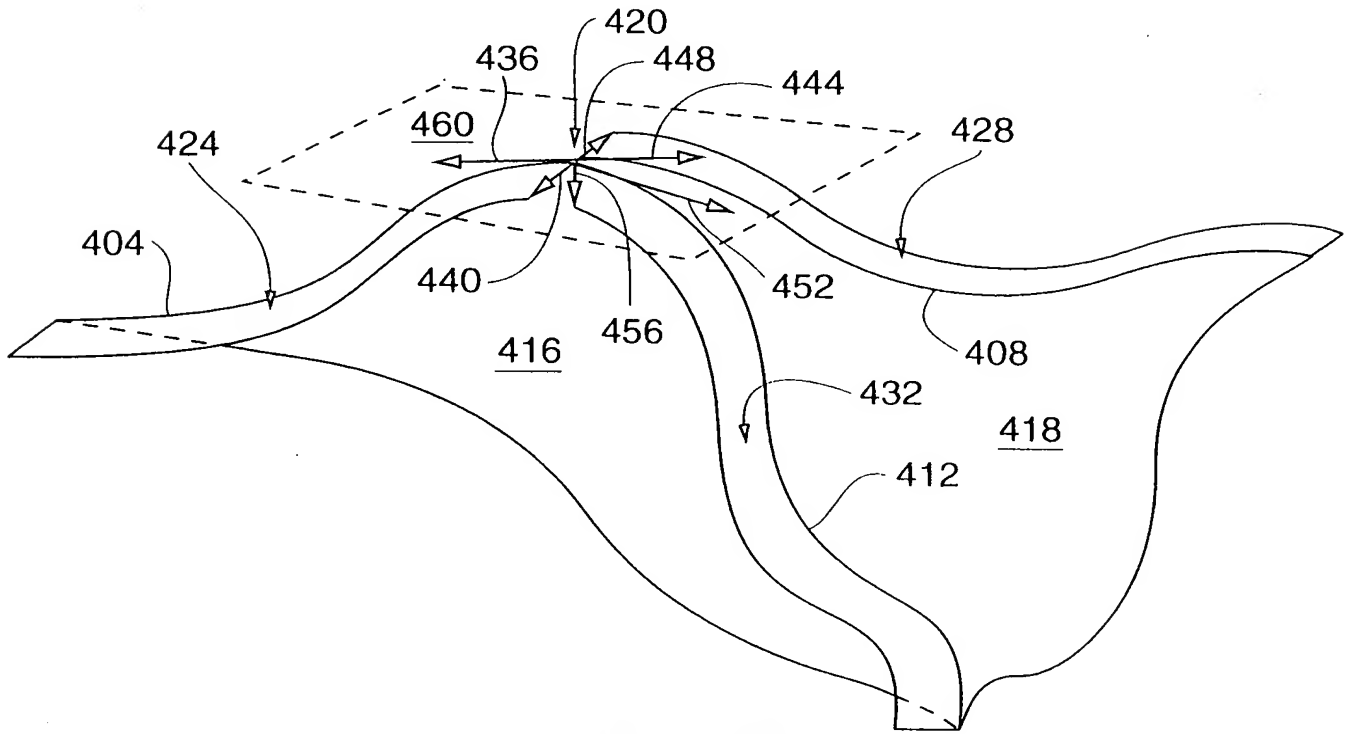


Fig. 18

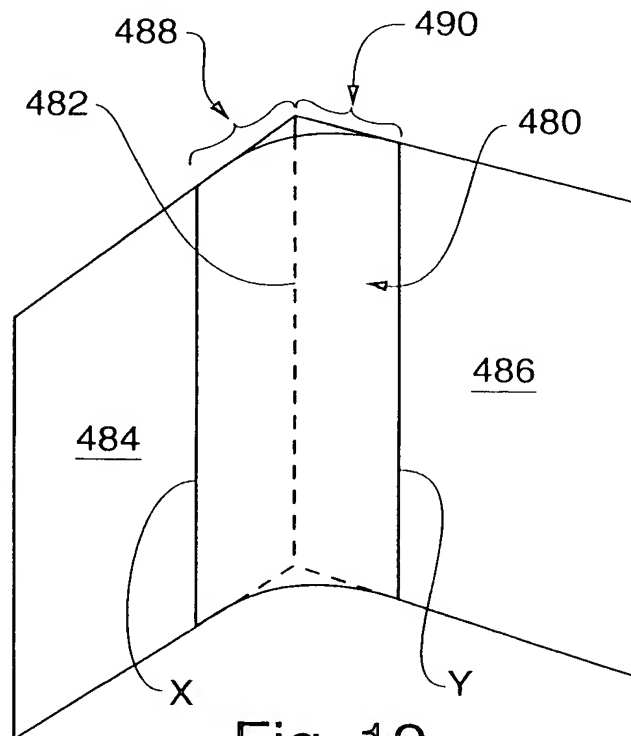


Fig. 19

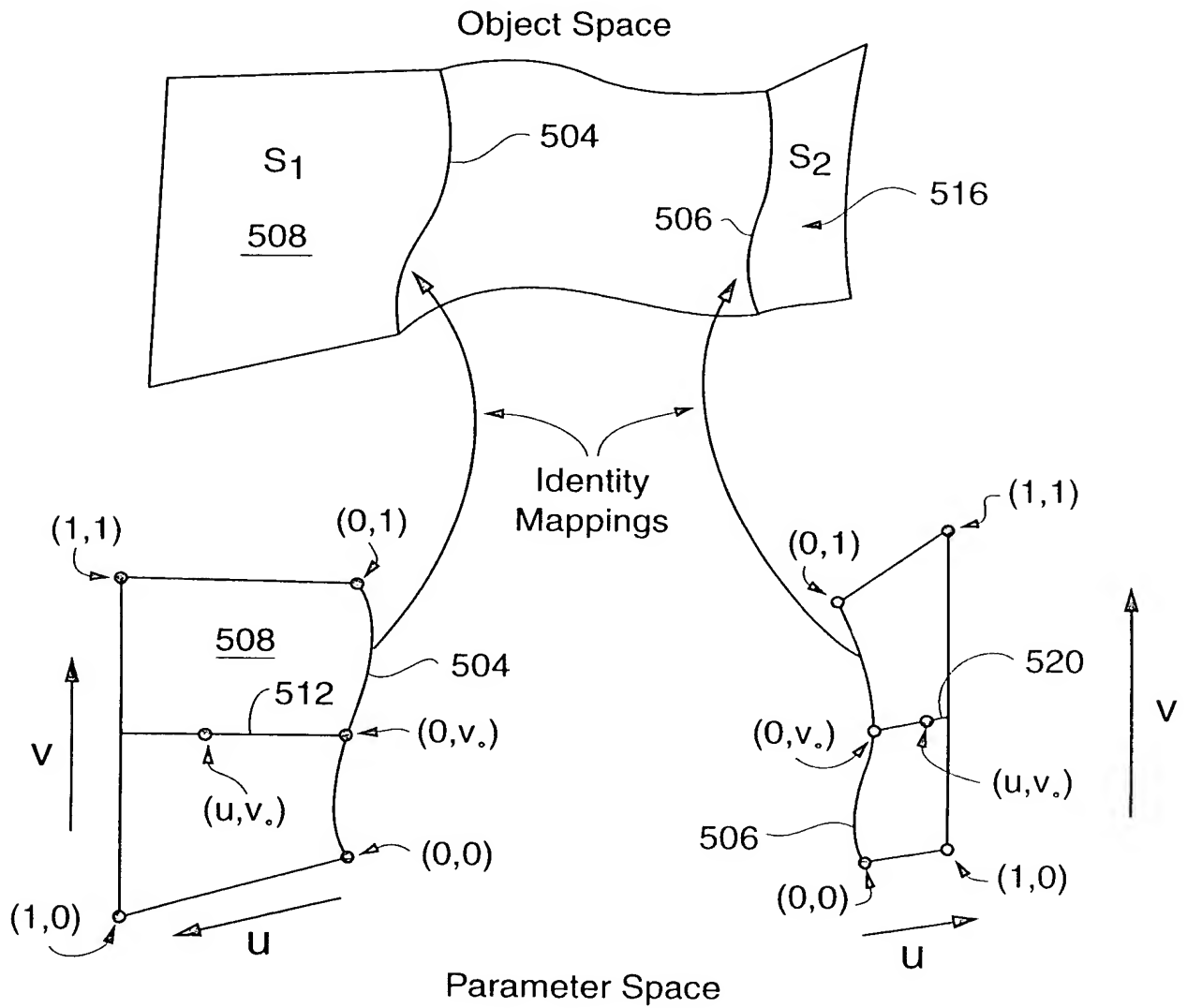


Fig. 20

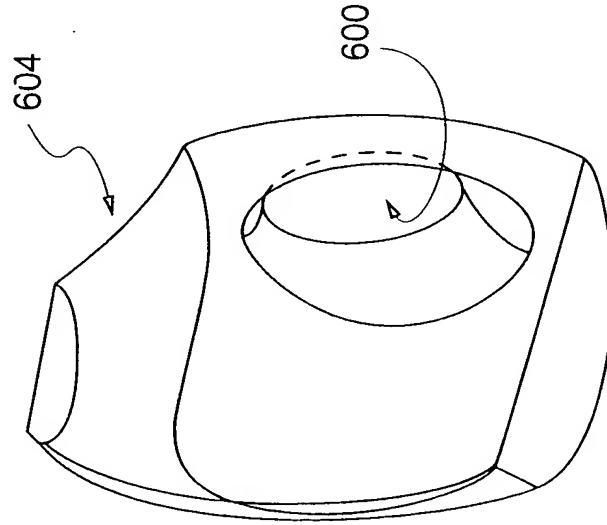


Fig. 21C

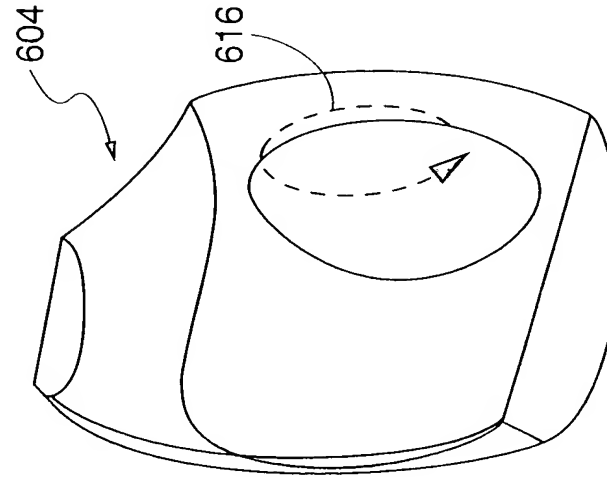


Fig. 21B

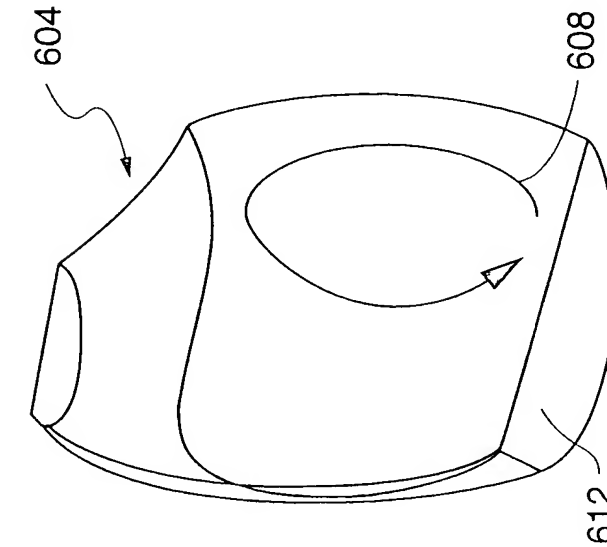


Fig. 21A

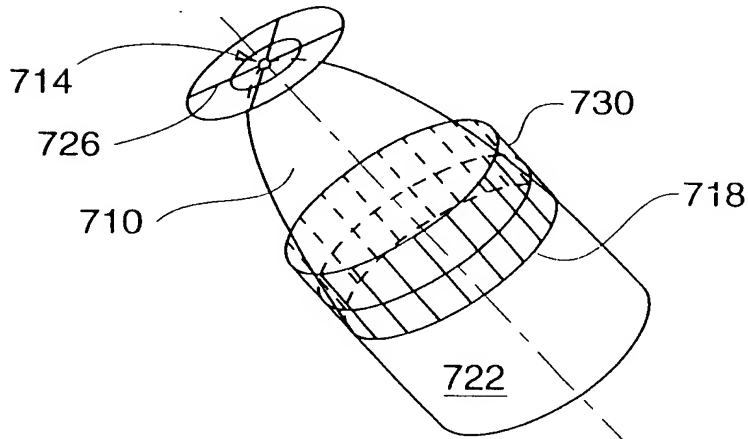


Fig. 22

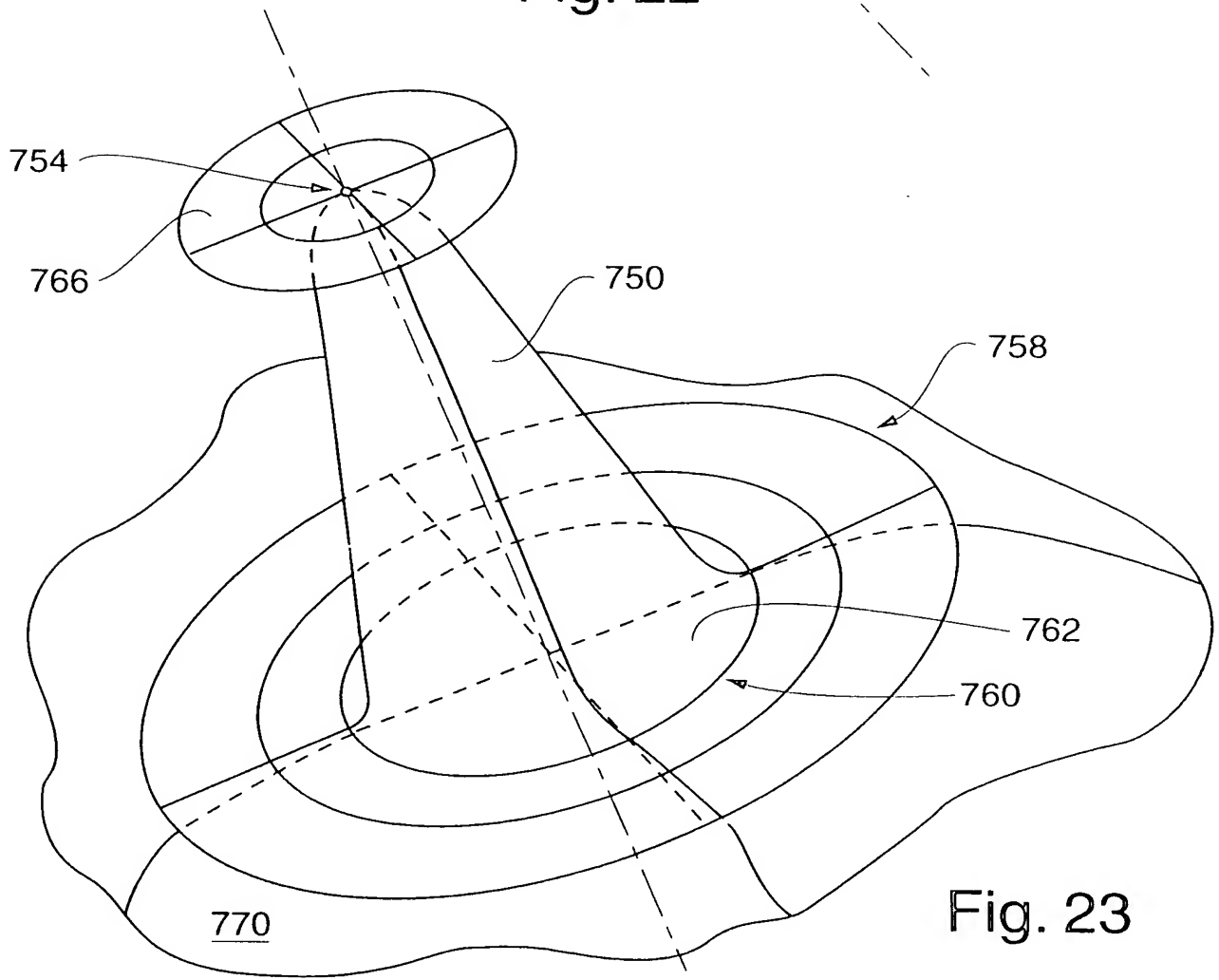


Fig. 23

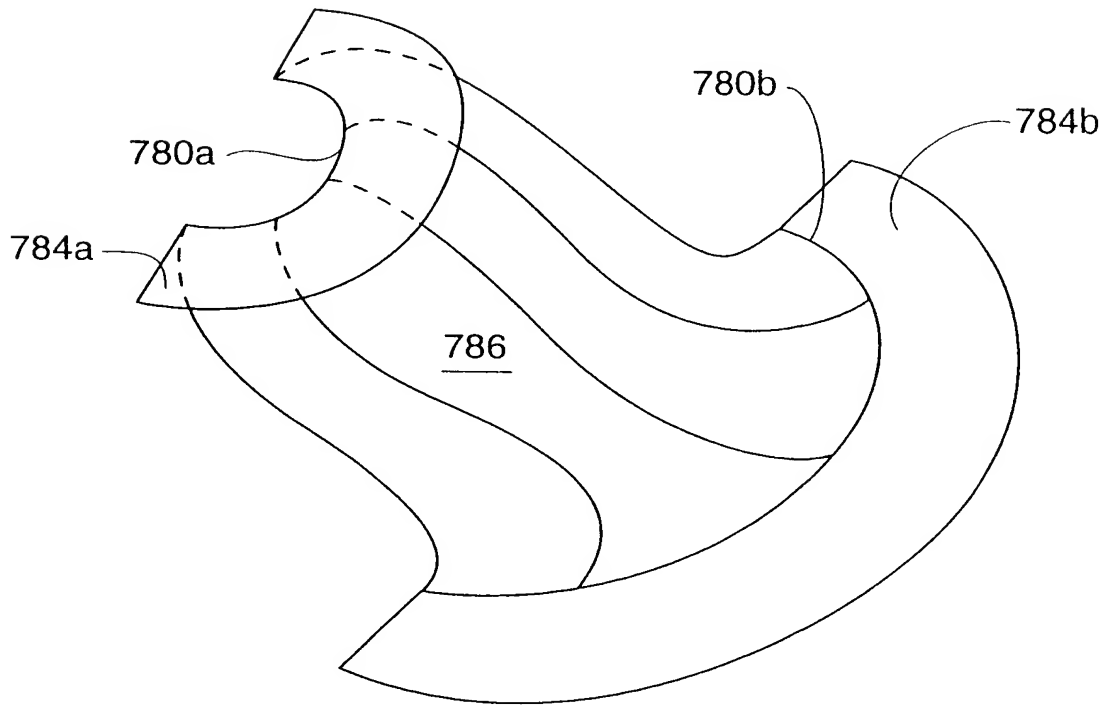


Fig. 24

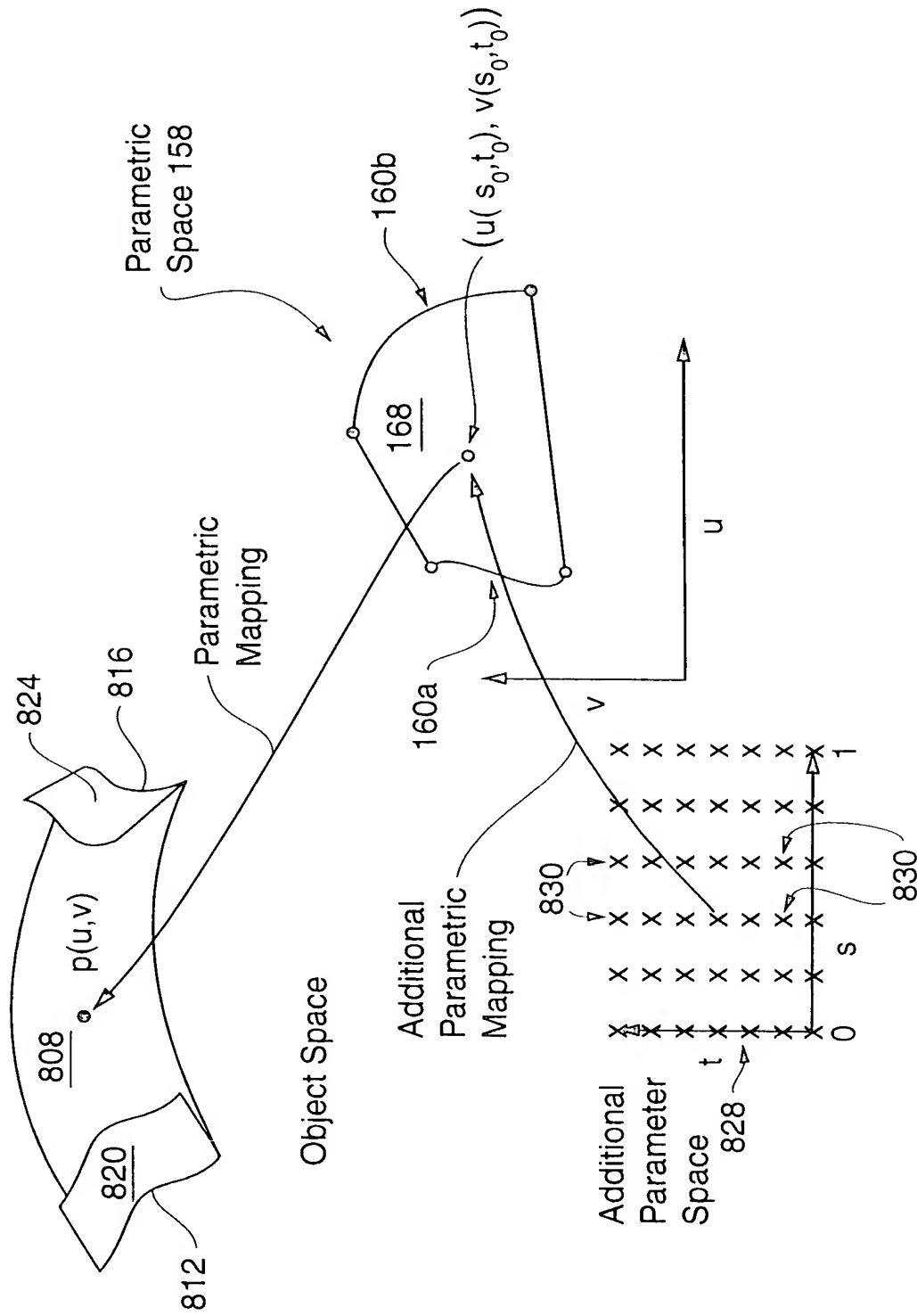


Fig. 25

CURVE INTERPOLATION (PT1, PT2, TAN1, TAN2)

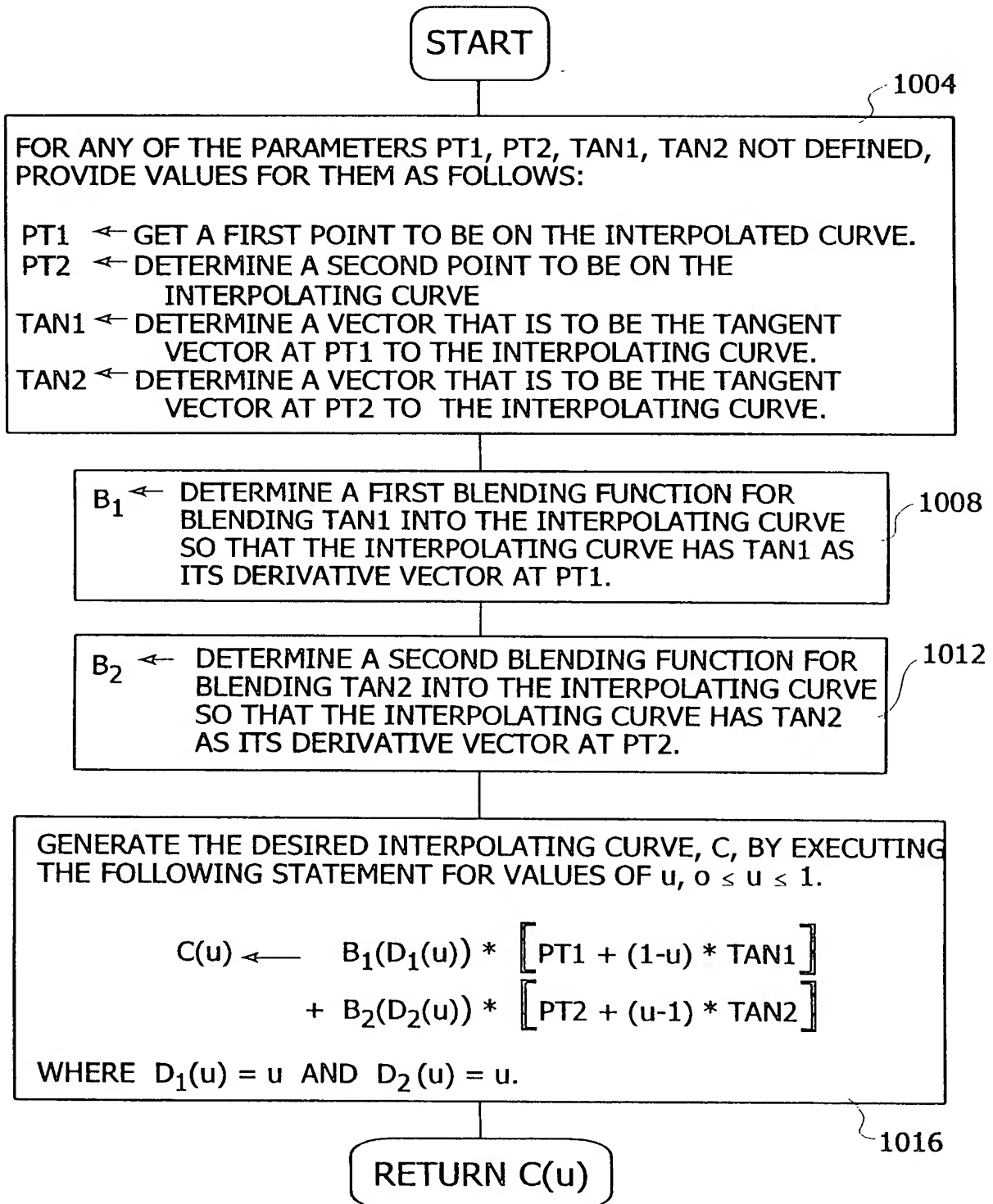


FIG. 26

CONSTRUCT ISOCLINE BOUNDARY APPROXIMATION (S, PT1, PT2, C(u))

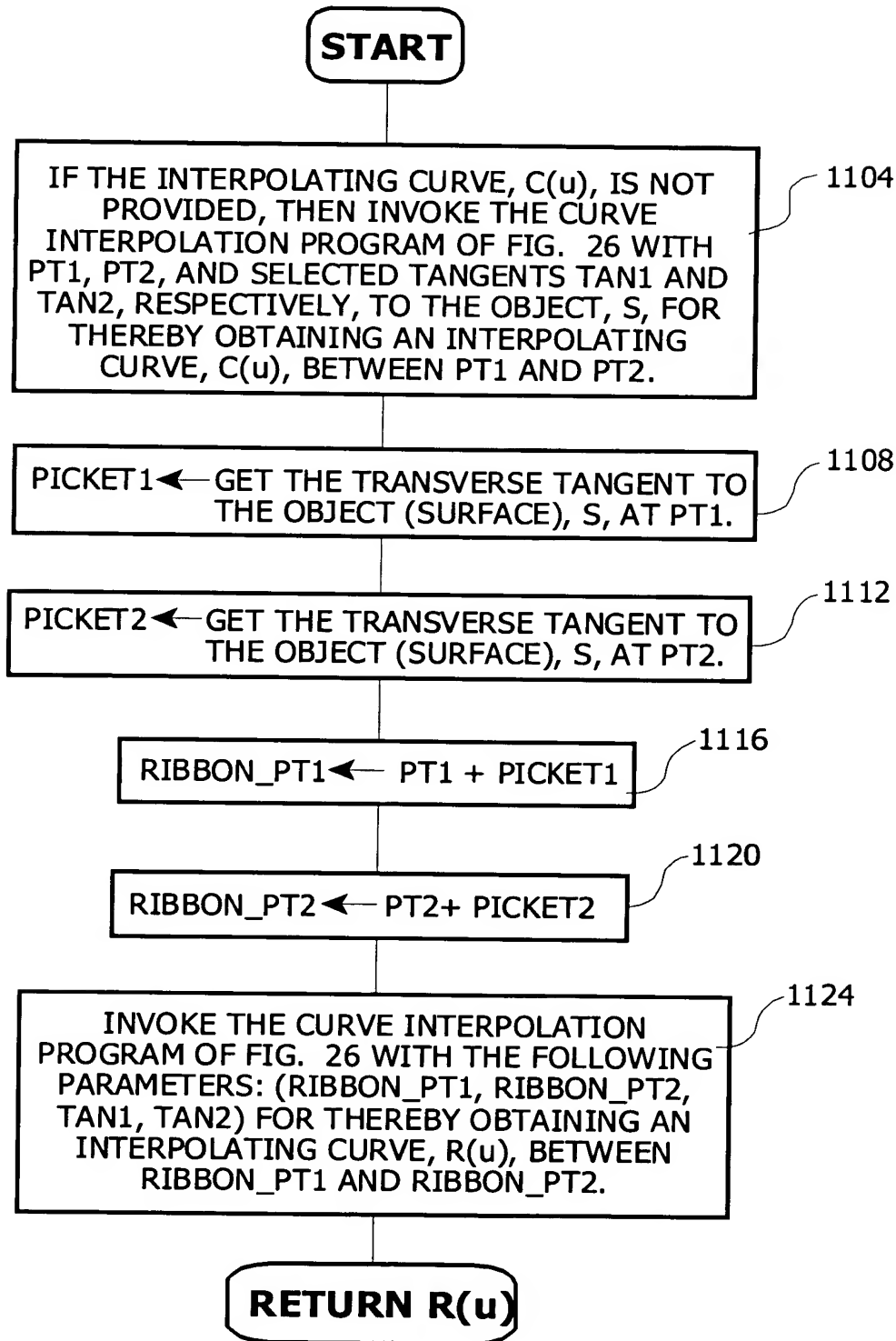


FIG. 27

CONSTRUCT ISOCLINE RIBBON/BOUNDARY

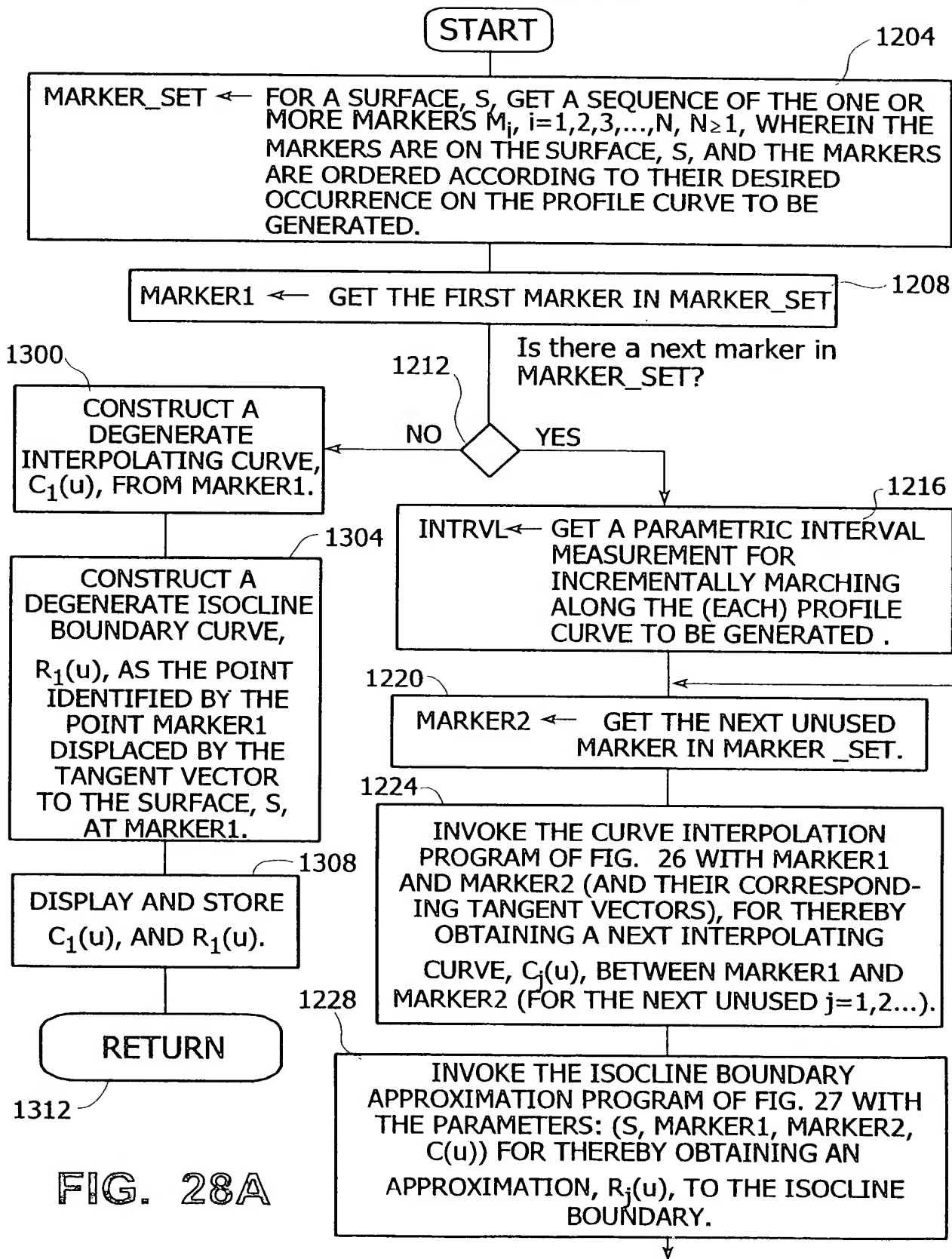
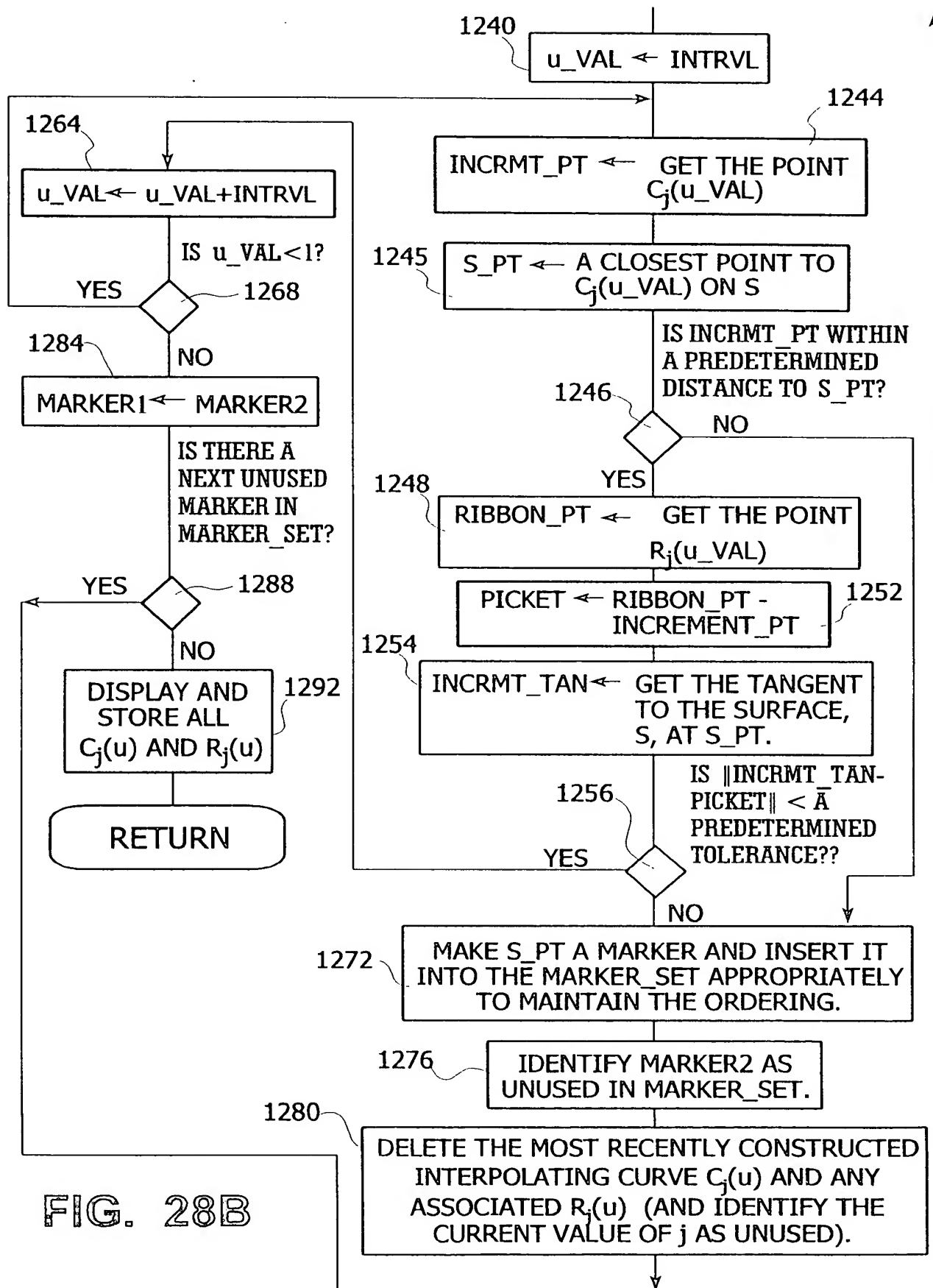


FIG. 28A



MODIFY A COMPOSITE SURFACE(S_0)

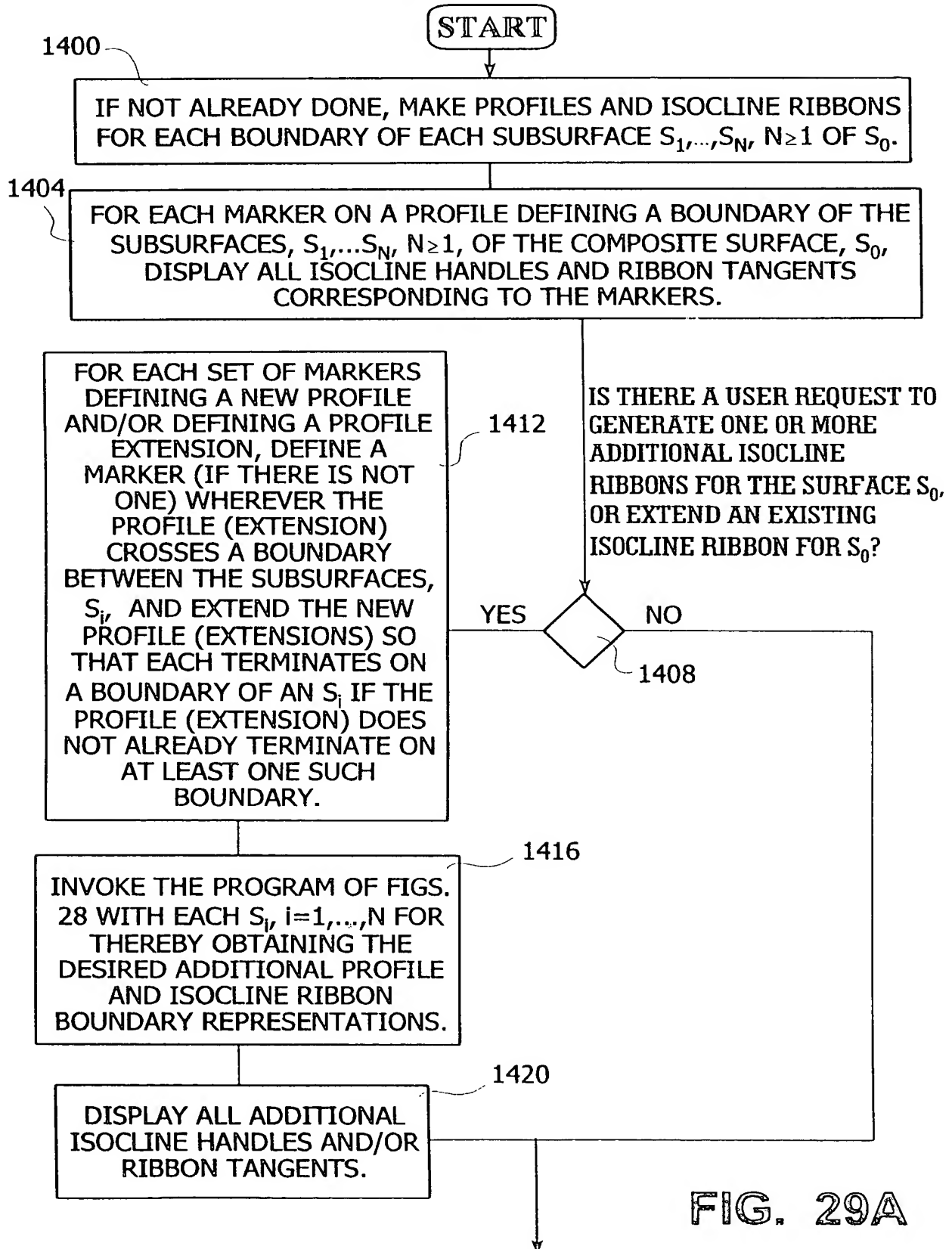


FIG. 29A

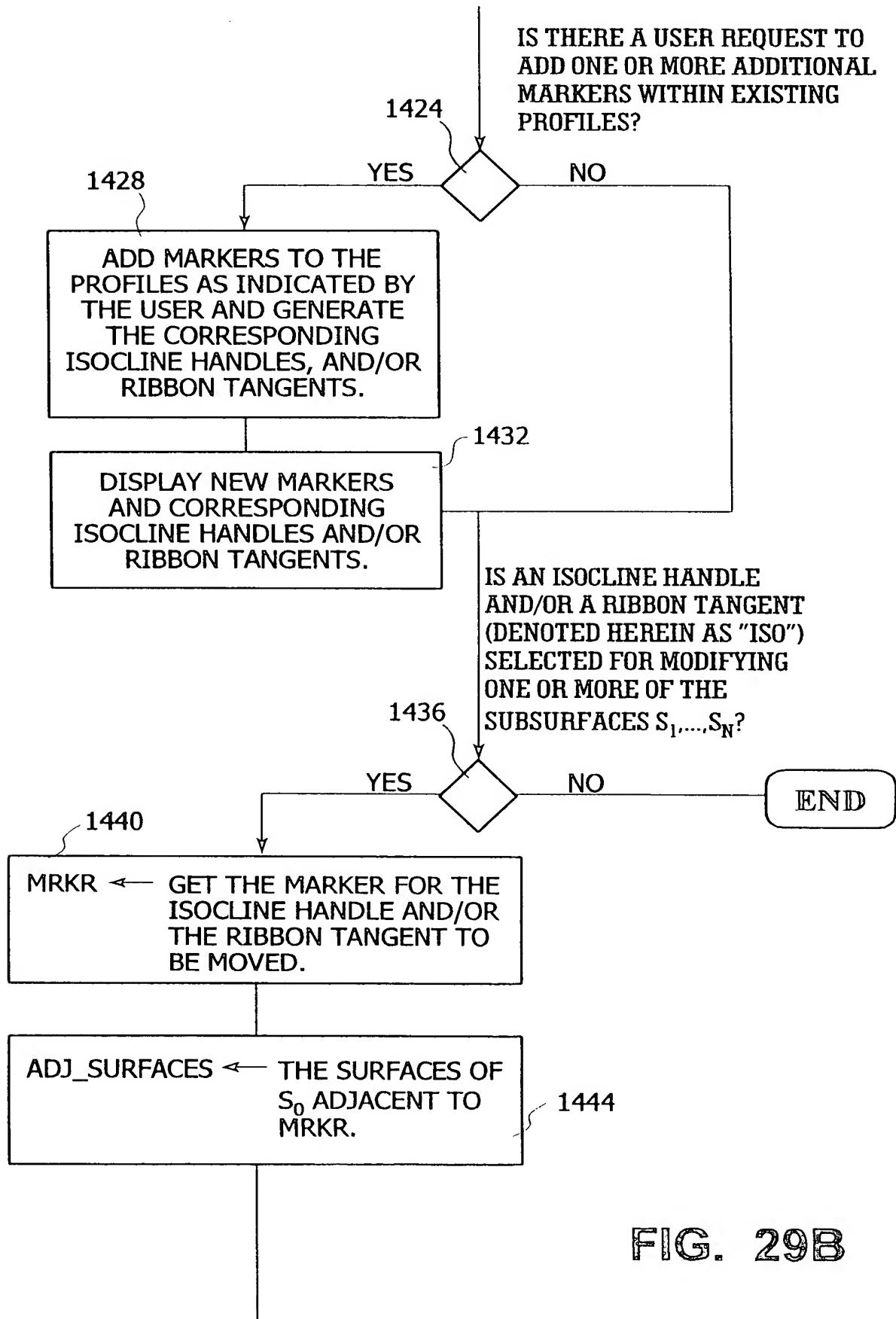


FIG. 29B

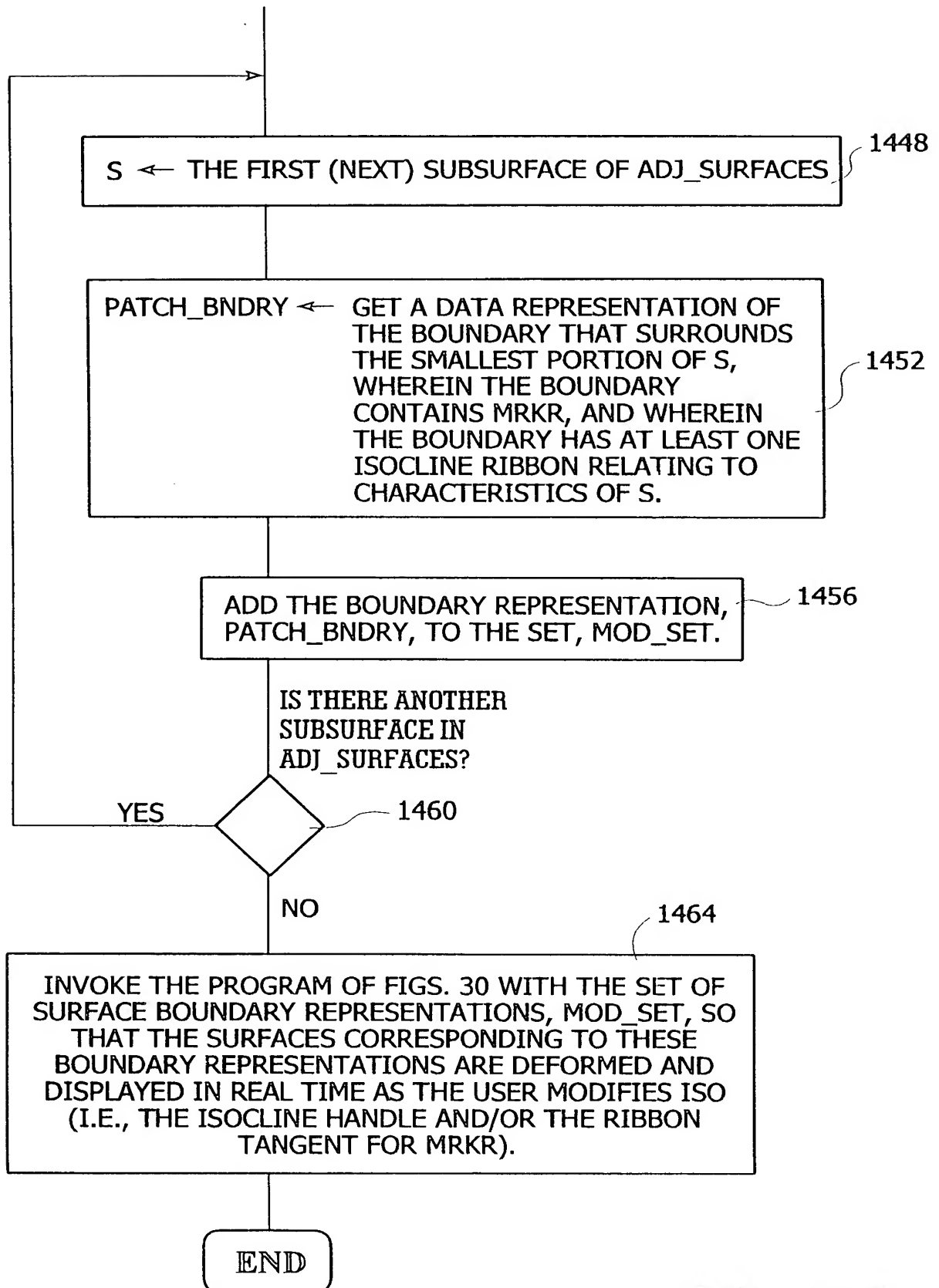
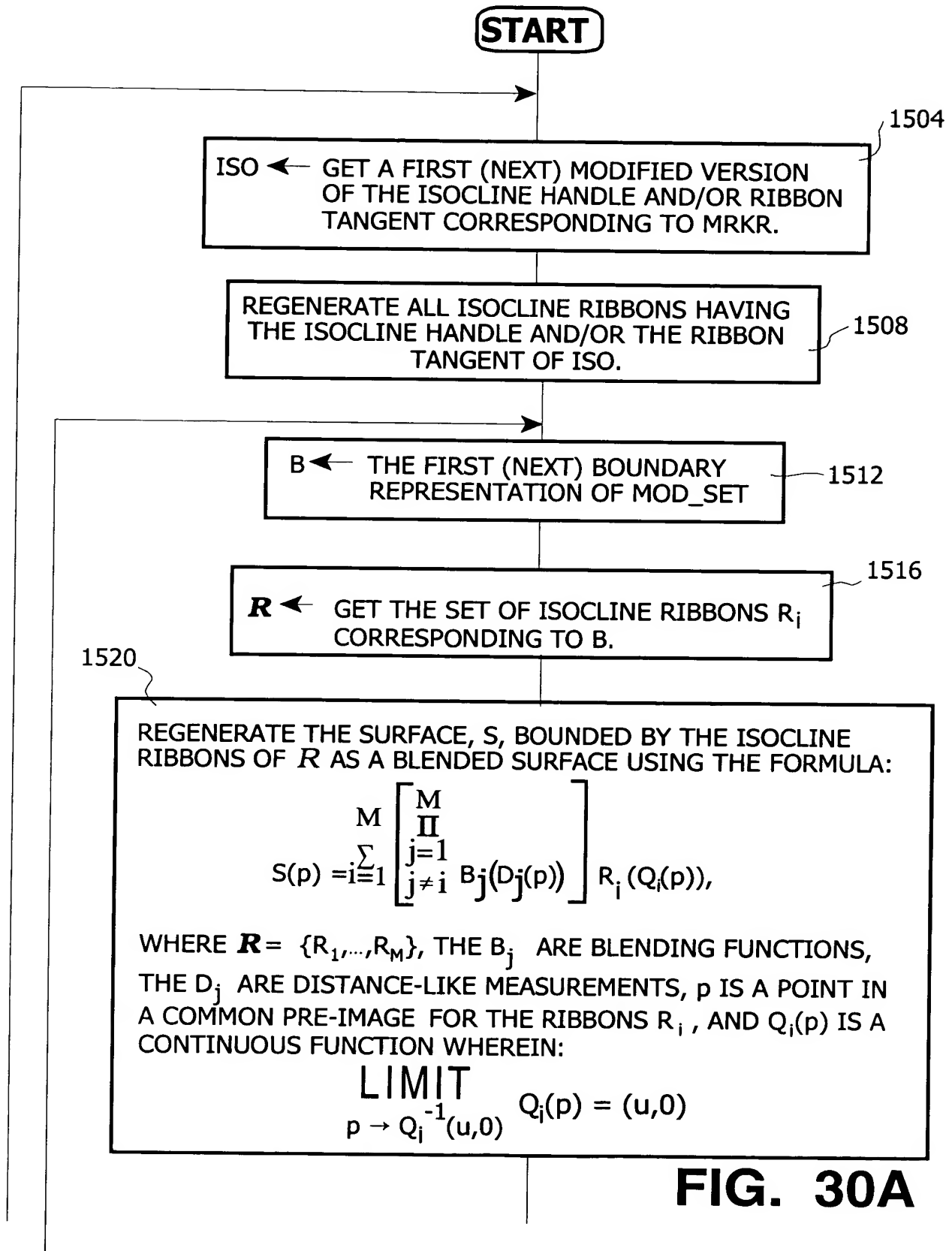


FIG. 29C

DEFORM_SURFACES (MRKR, MOD_SET)



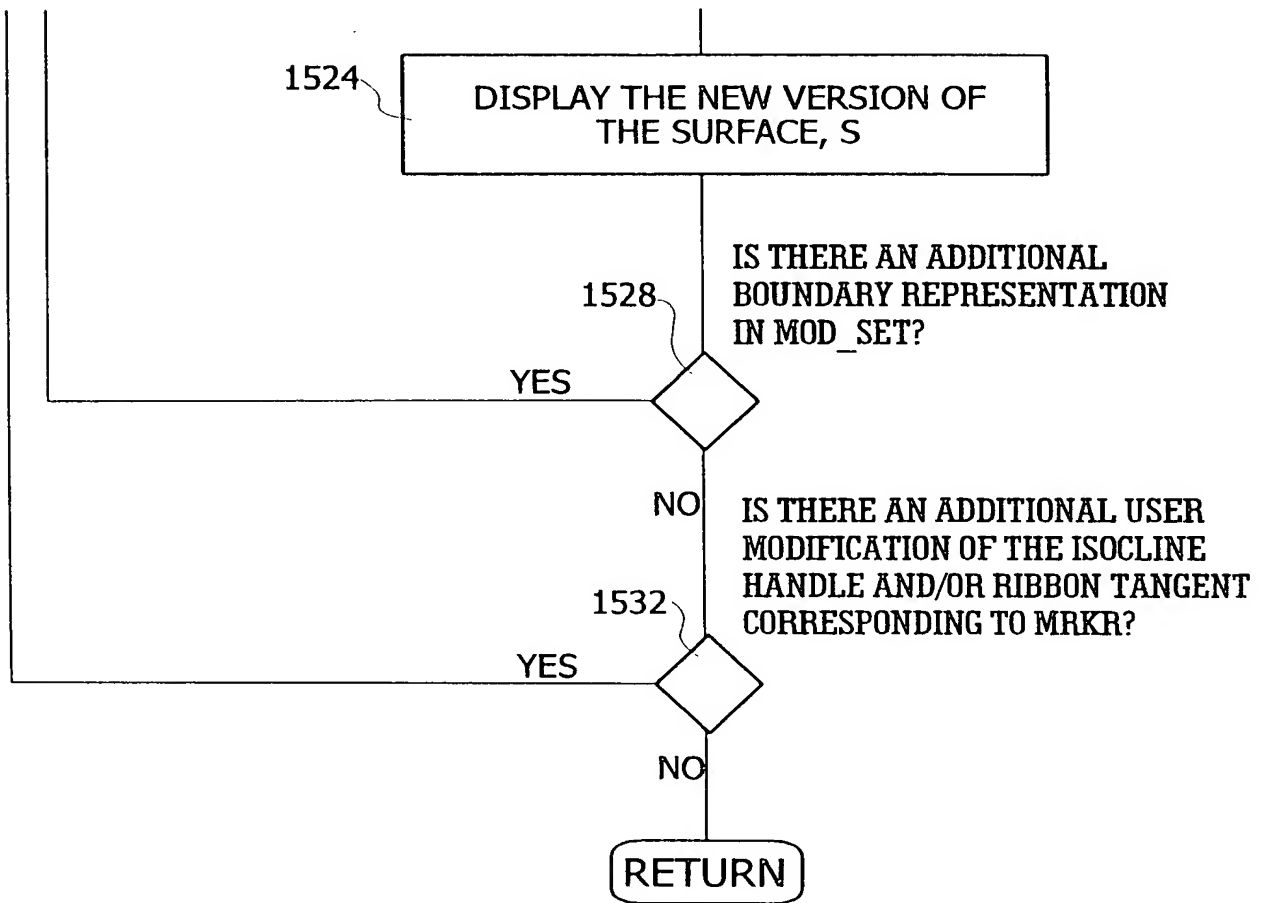


FIG. 30B

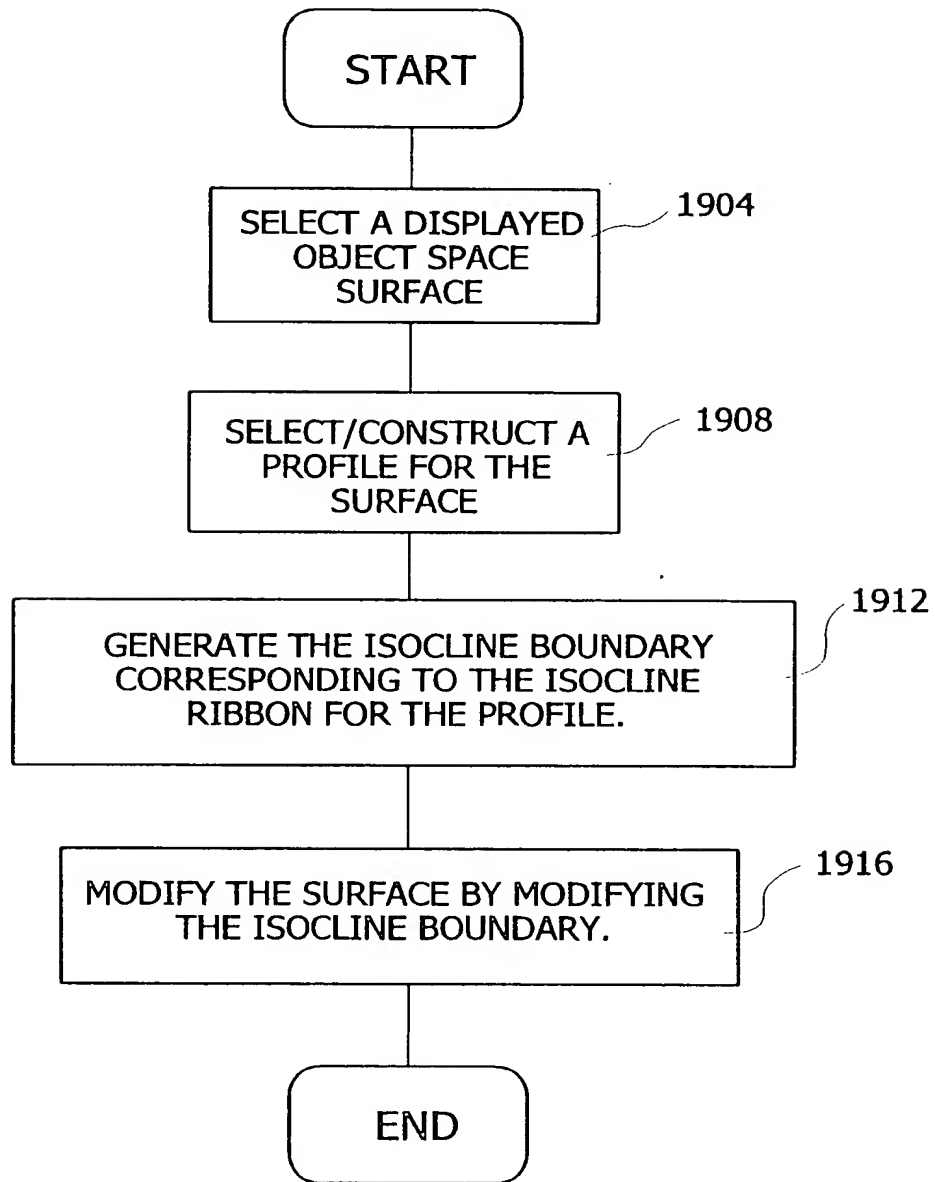


FIG. 31

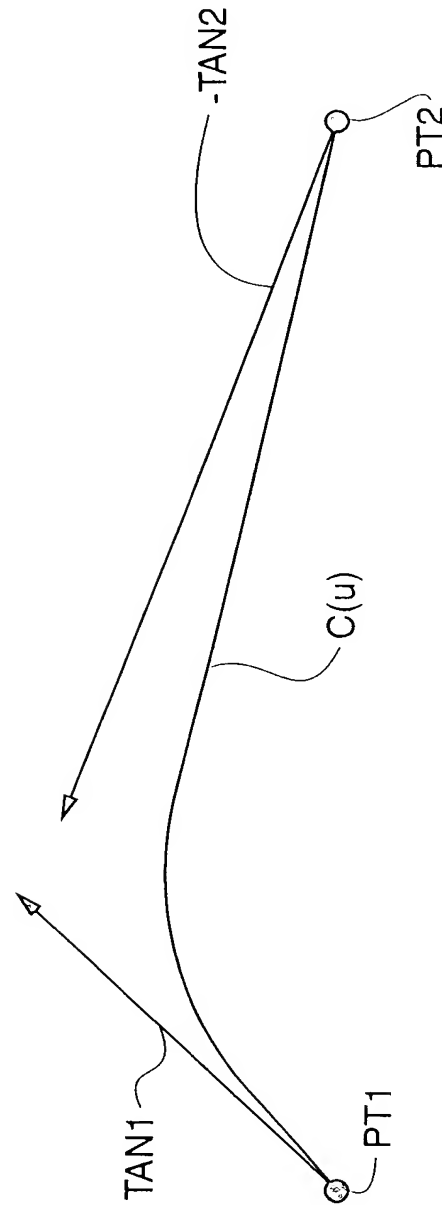
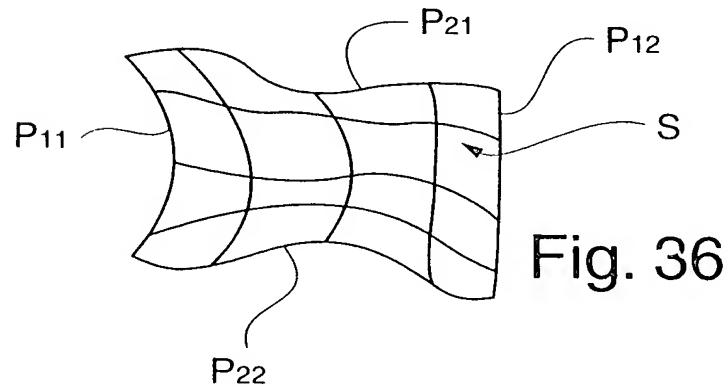
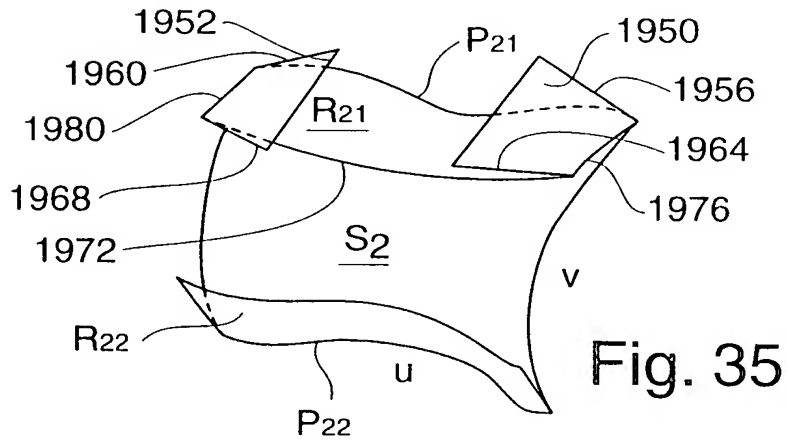
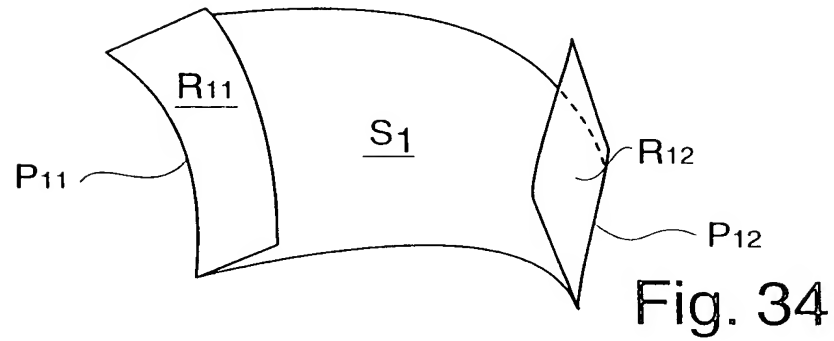
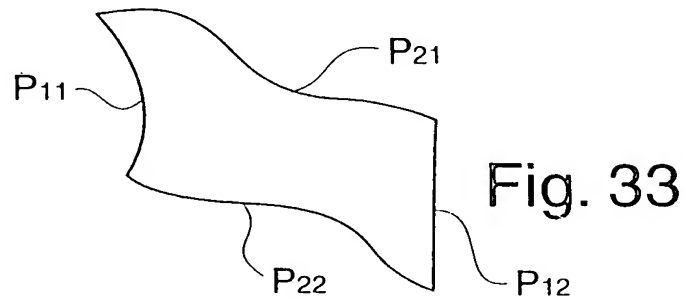


Fig. 32



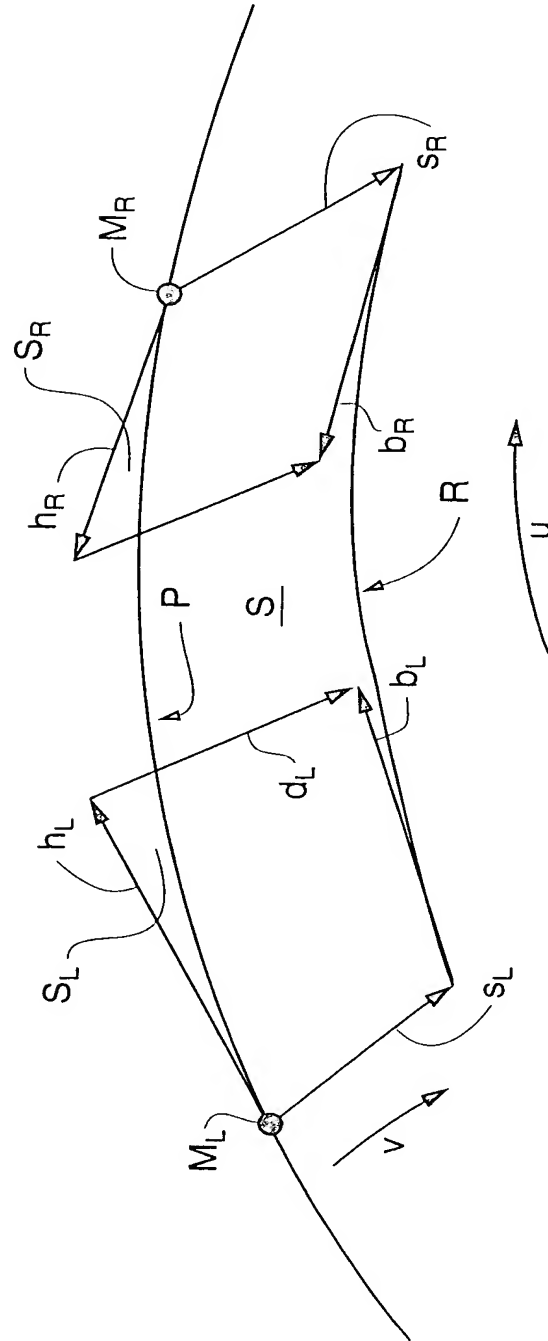


Fig. 37

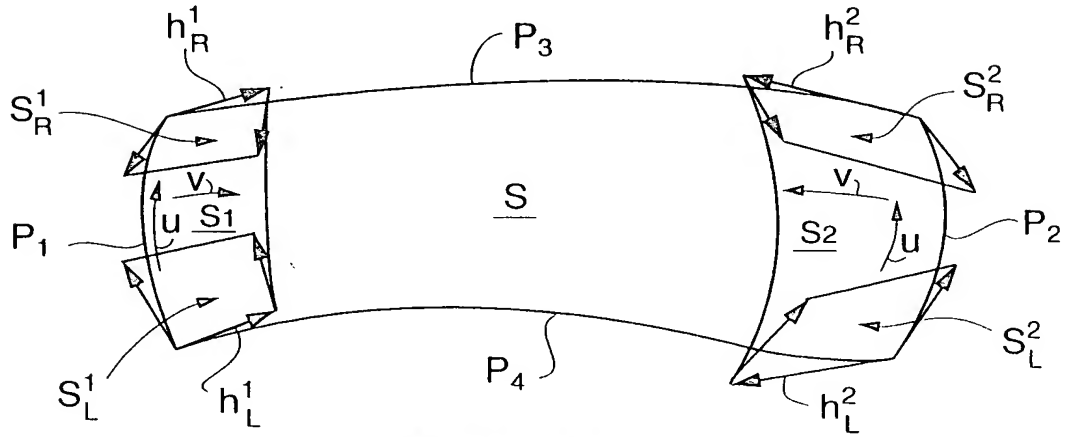


Fig. 38

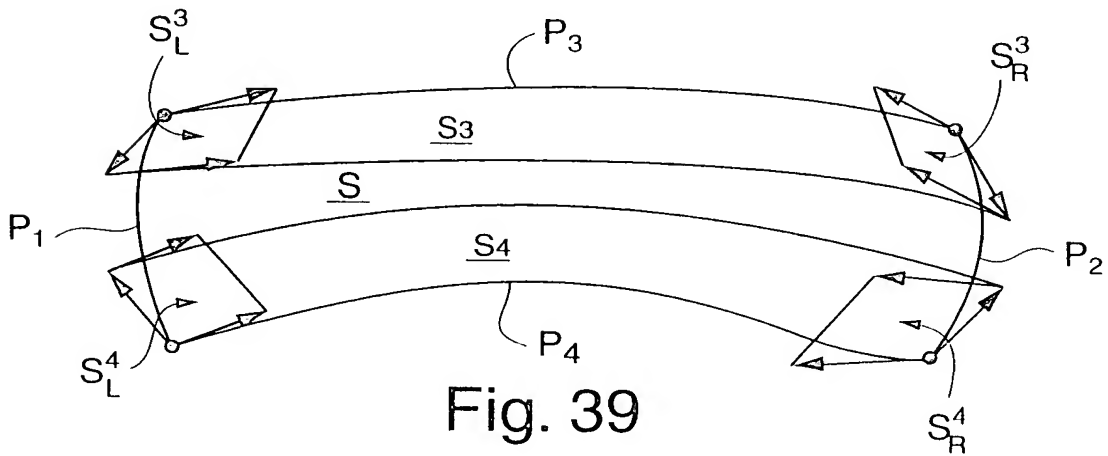


Fig. 39

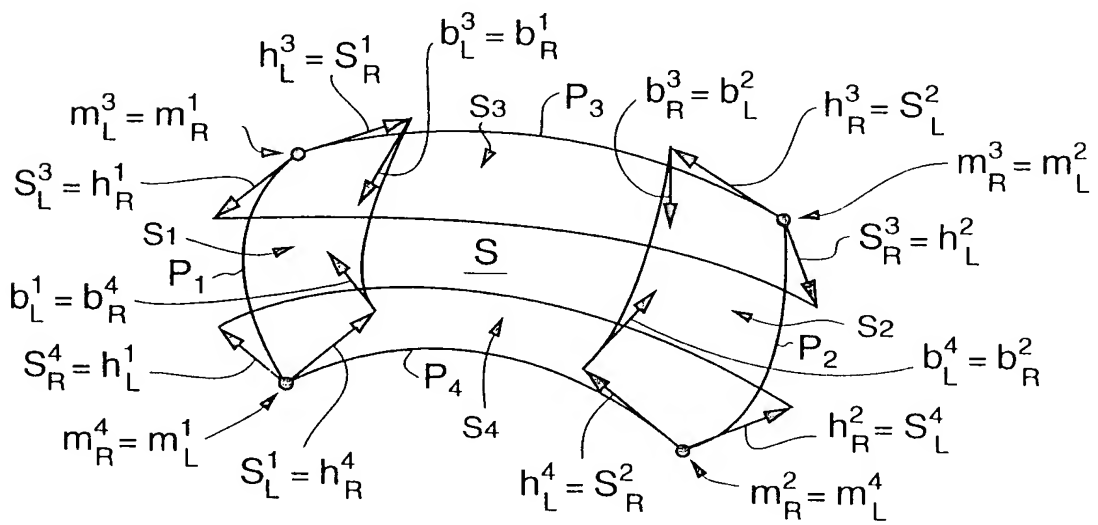


Fig. 40

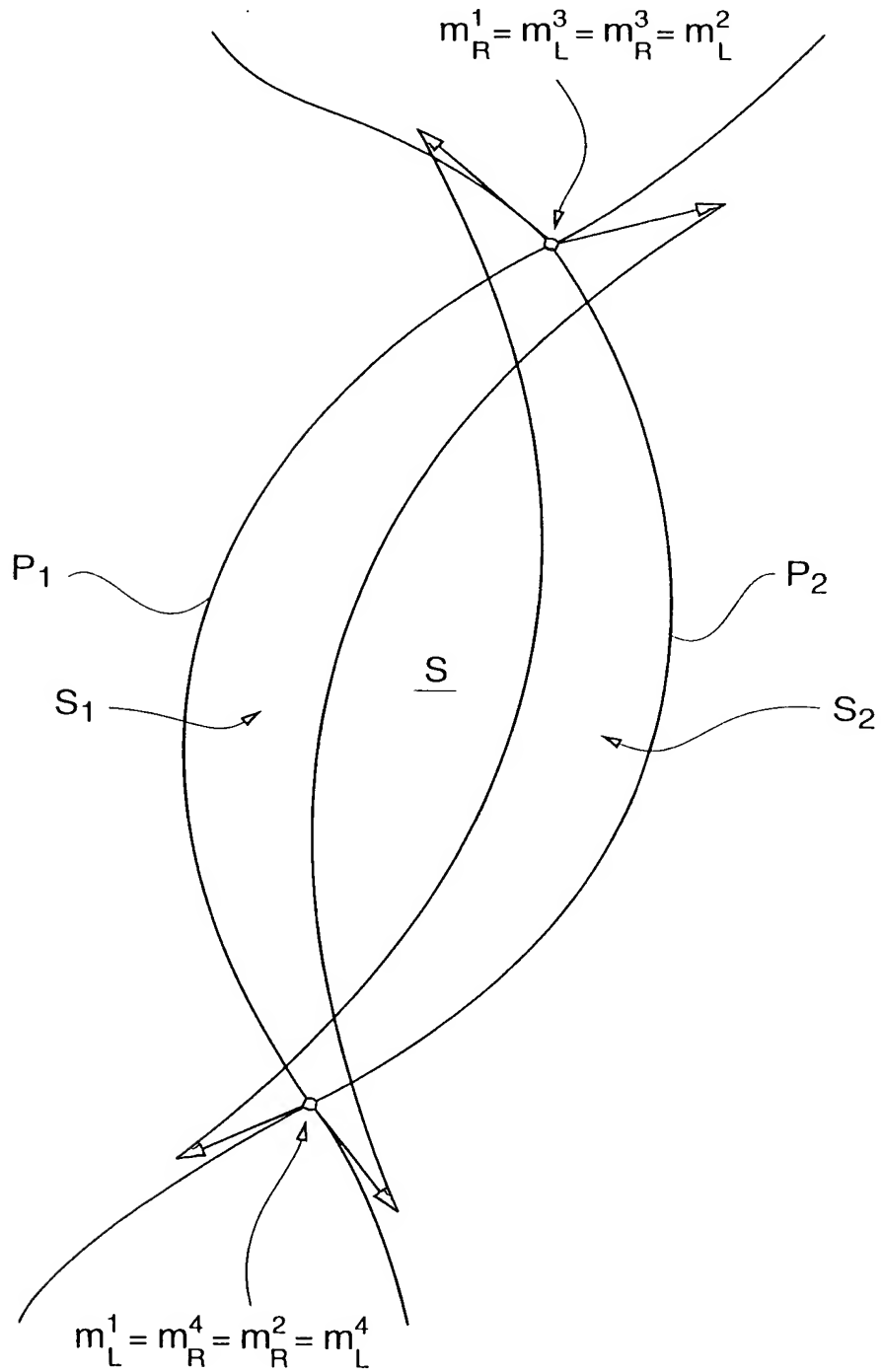


Fig. 41

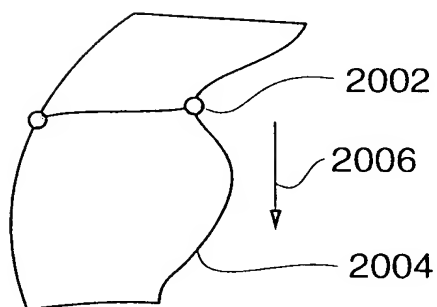


Fig. 42A

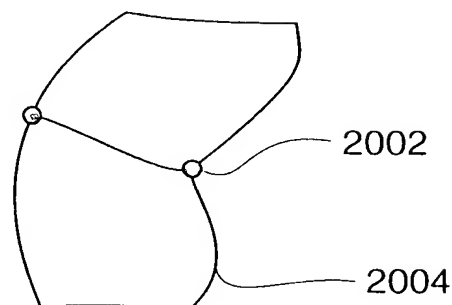


Fig. 42B

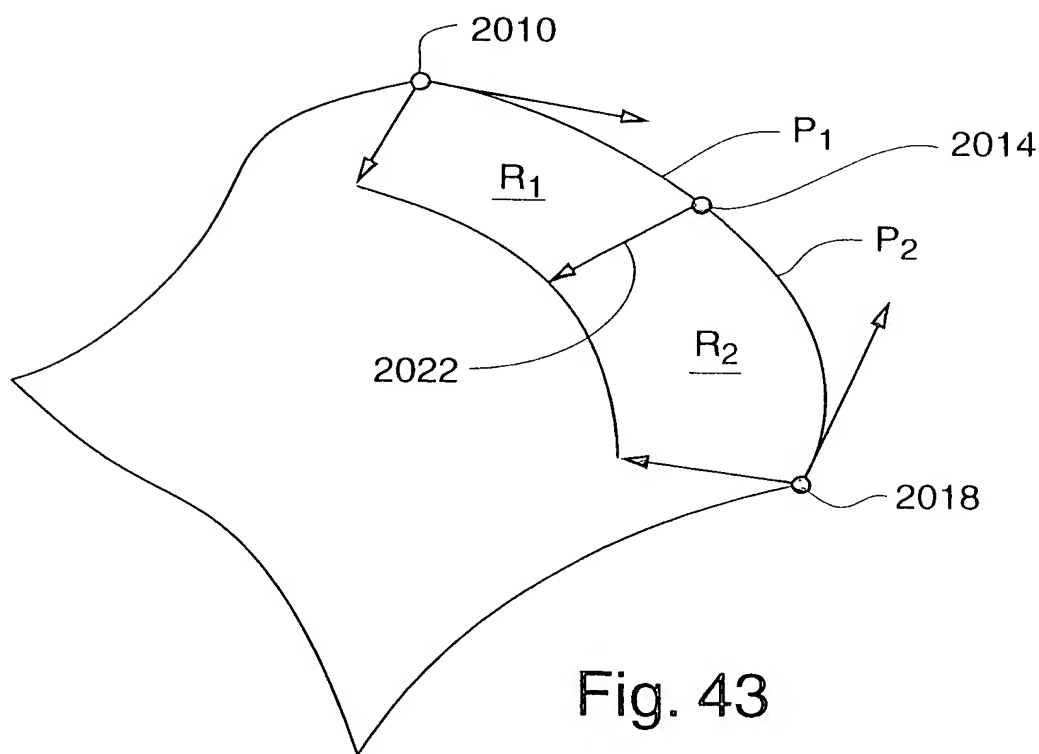


Fig. 43

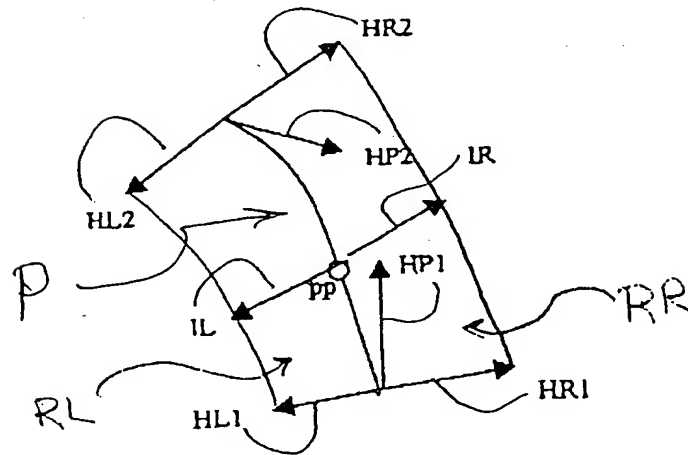


Fig. 44